



ПО «Альтаир-М» – открытый продукт: Разработка и внедрение стороннего модуля SWI, его функциональные возможности

Яблоков Александр Викторович, к.ф.-м.н., с.н.с. НГУ / ИНГГ СО РАН

г. Тюмень, 2025 г.

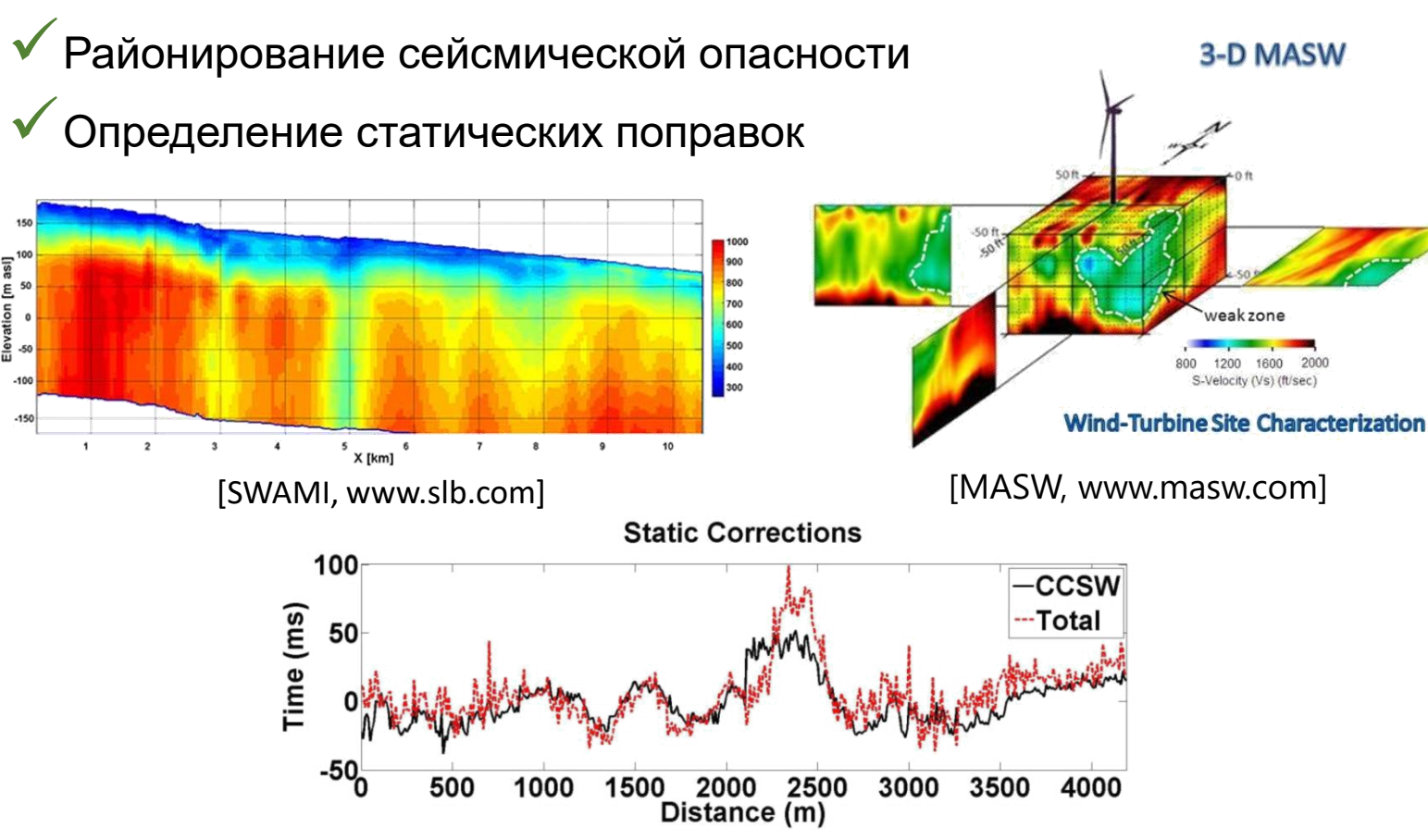
Что такое SWI?





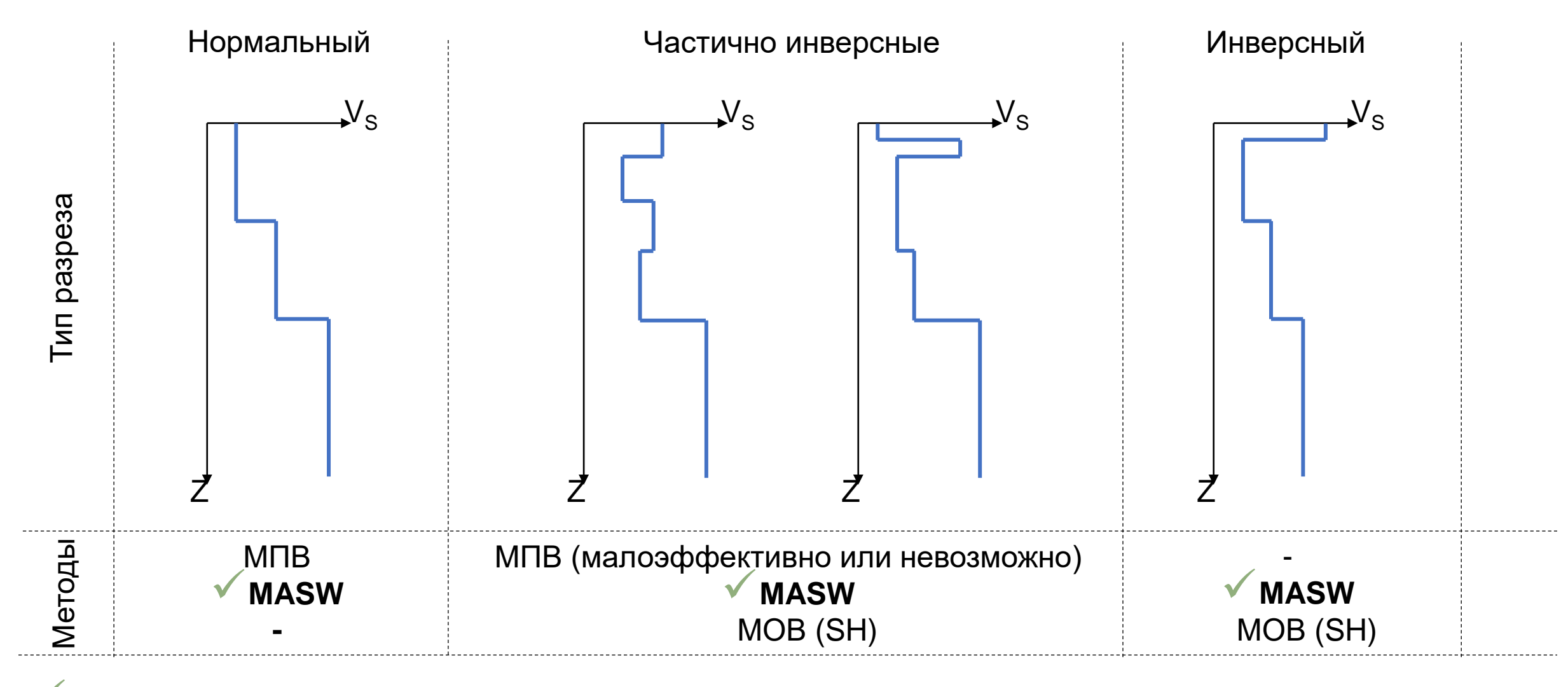
SWI – модификация методов поверхностных волн **(MASW, SASW, CSW)**, которые решают задачи малоглубинной сейсморазведки:

- ✓ Построение скоростной модели ВЧР
- √ Картирование распространения ММП



[R. Askari, 2012]

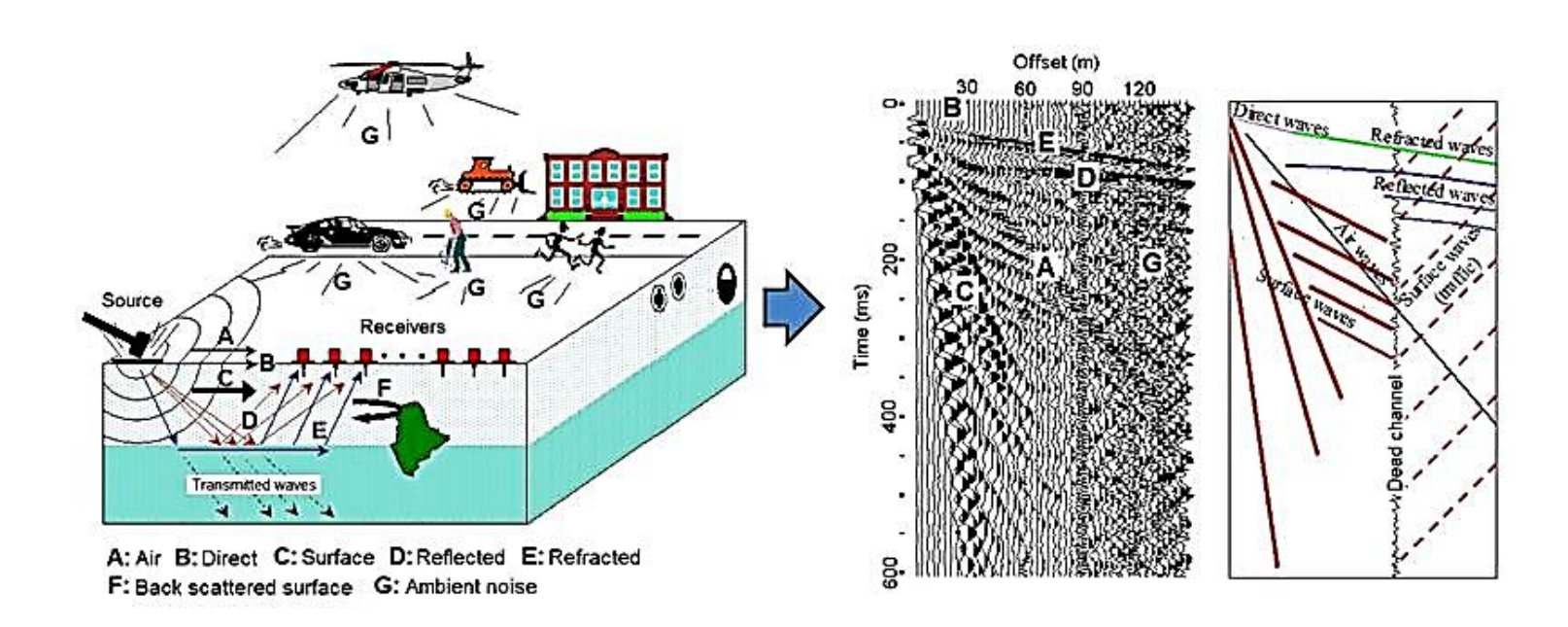
Почему SWI?

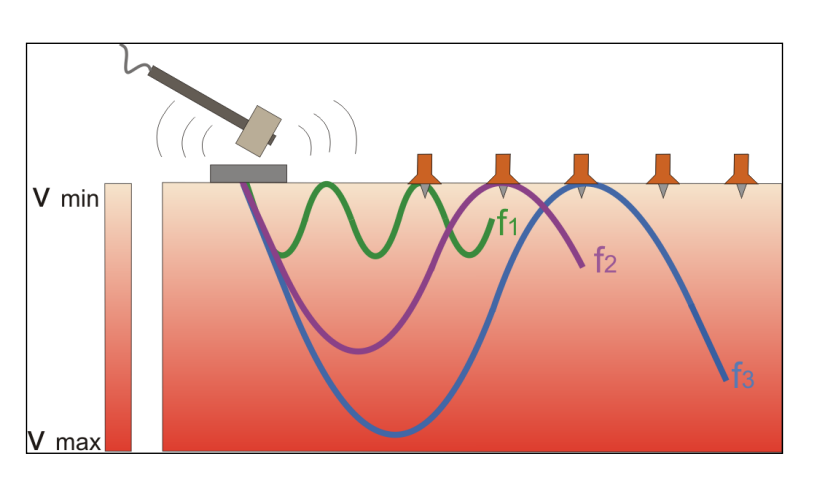


[✓] Метод SWI (MASW) подходит для всех типов разрезов.

Для повышения точности результатов инверсии следует использовать комплекс методов.

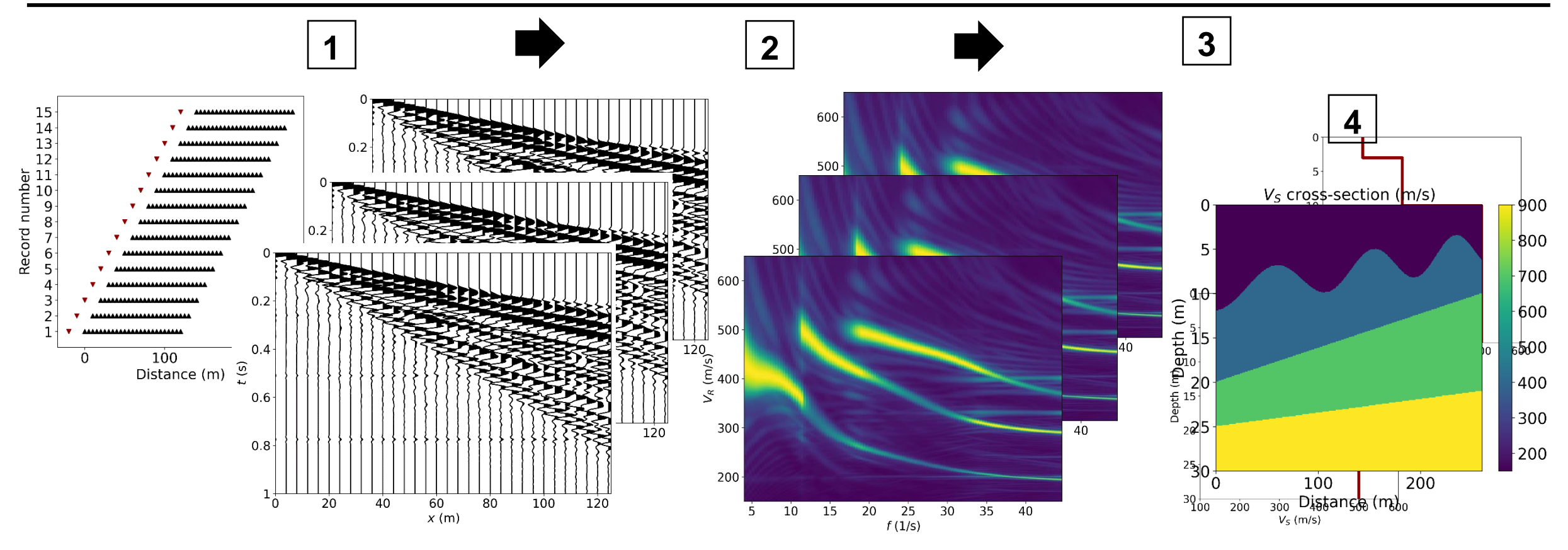
Особенности распространения поверхностных волн





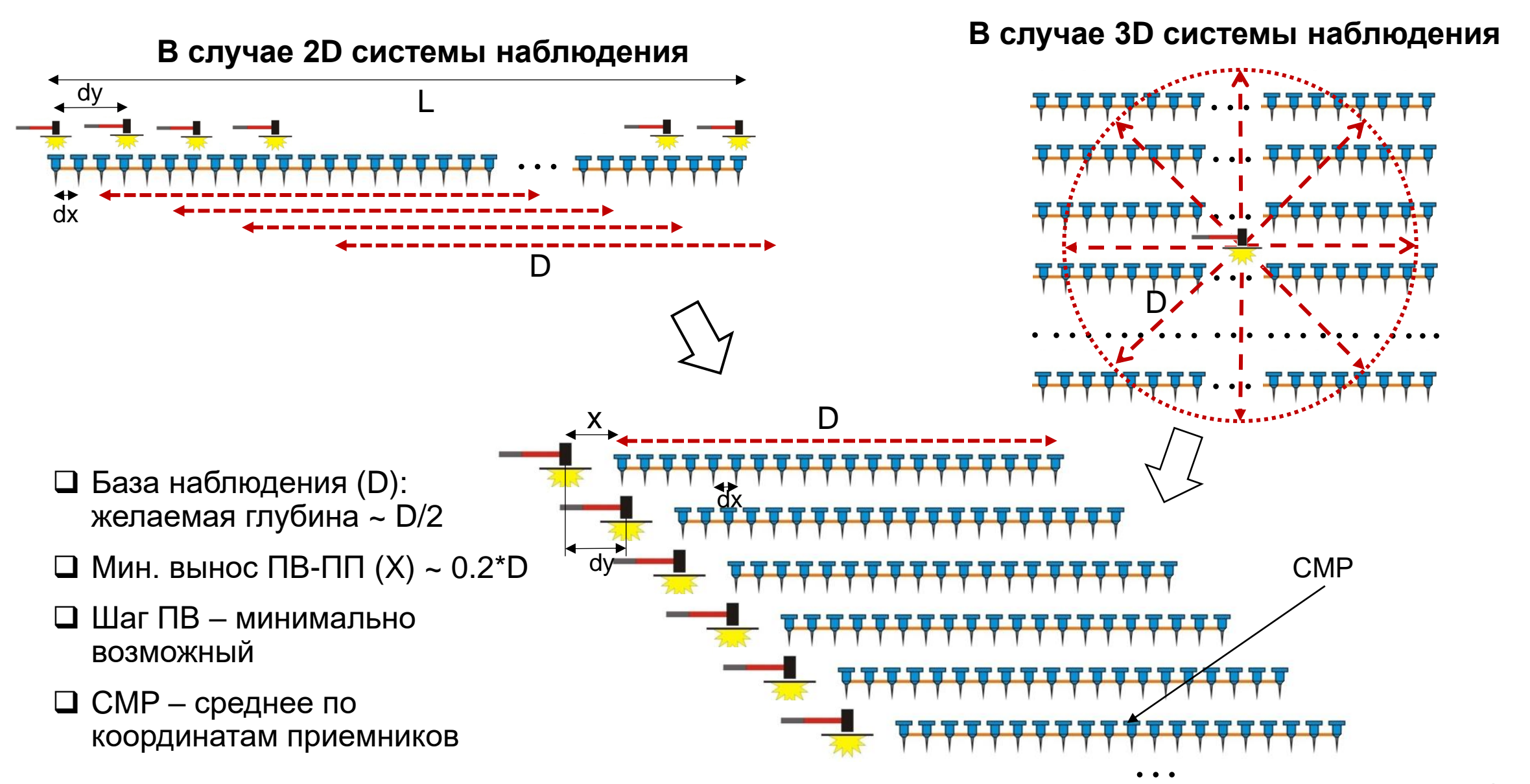
- Высокое соотношение S / N
- □ Низкие частоты и малые скорости
- □ Различные частотные компоненты распространяются с различной скоростью (дисперсия)
- Высокие частоты характеризуют приповерхностную часть, низкие частоты несут информацию о более глубоких слоях
- □ Быстро затухают с глубиной: Релея ~(1-1.5)λ; Лява ~ 2λ

Этапы метода (модуля) SWI

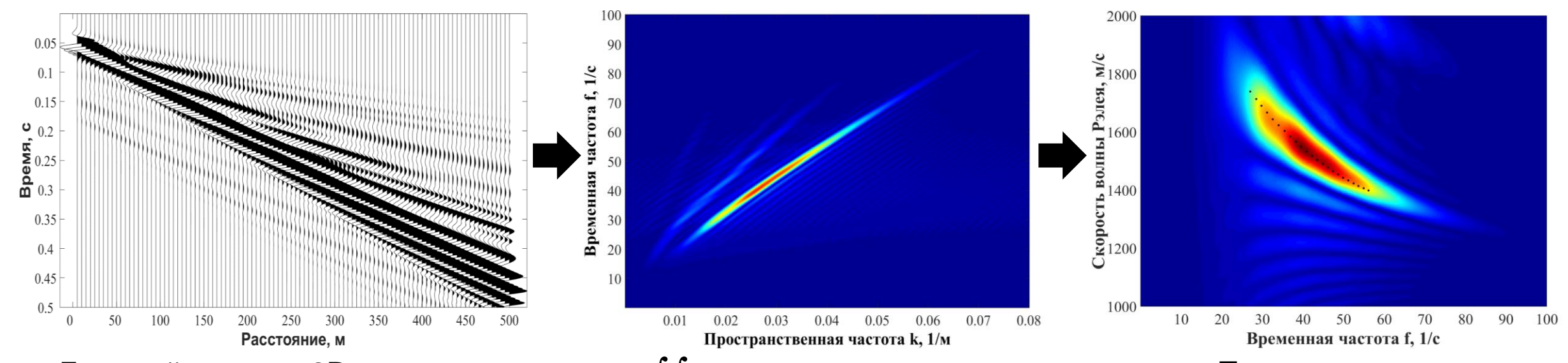


- 1. Препроцессинг: сведение данных к фланговой расстановке
- **2. Спектральный анализ**: преобразование данных в спектральную область и извлечение кривой зависимости фазовой скорости от частоты (дисперсионная кривая)
- 3. Инверсия: обращение дисперсионной кривой и определение 1D скоростной модели S-волны
- **4. Постпроцессинг:** интерполяция и сглаживание скоростных моделей, построение 2D и 3D модели

Этап 1 – Препроцессинг. Методика «профилирования»



Этап 2 – Спектральный анализ. Метод FKT



Базовый метод – 2D Фурье-преобразование (FK-transform) $D(k, f) = \iint d(x, t) \exp(-i2\pi ft) \exp(i2\pi kx) dt dx,$

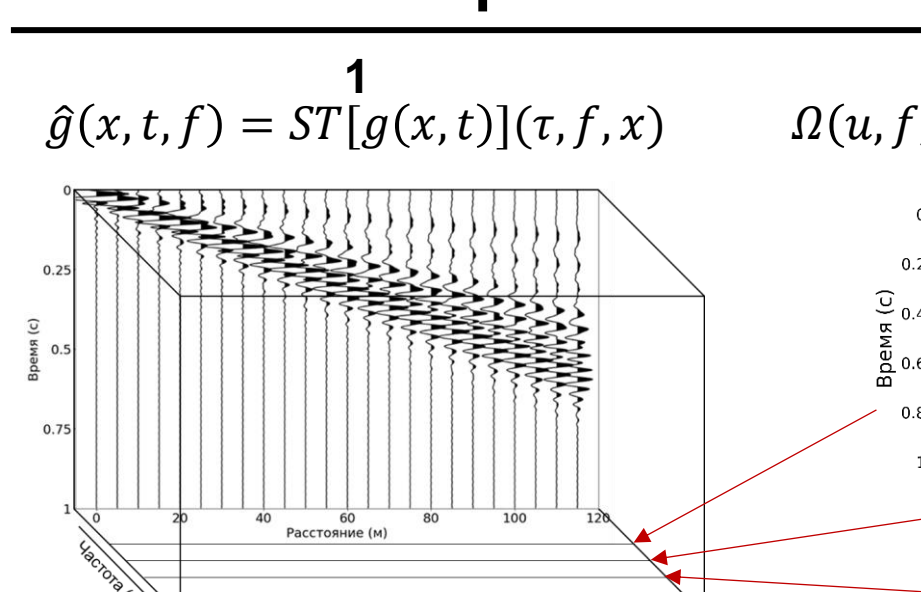
Перераспределение амплитуд из F-K в V-f V=f/k

Методы спектрального анализа:

- f-k преобразование [Gabriels et al., 1987]
- > τ-p преобразование [McMechan and Yedlin, 1981]
- алгоритм фазового сдвига [Park et al., 1999]

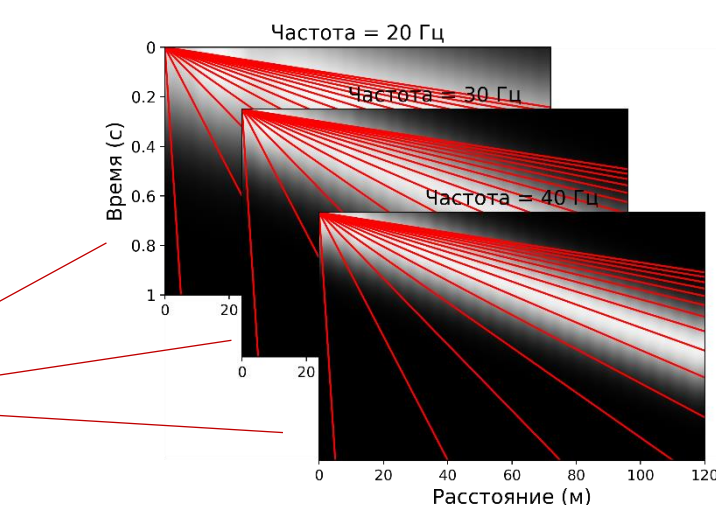
- ✓ Недостаточная фильтрация случайных и регулярных помех
- ✓ Ложные максимумы энергии на амплитудных спектрах
- ✓ Спектральное размывание при уменьшении базы наблюдения
- ✓ Требуется ручное пикирование опытными специалистами

Этап 2 – Спектральный анализ. Метод SFK

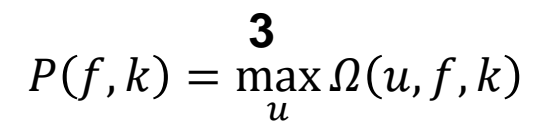


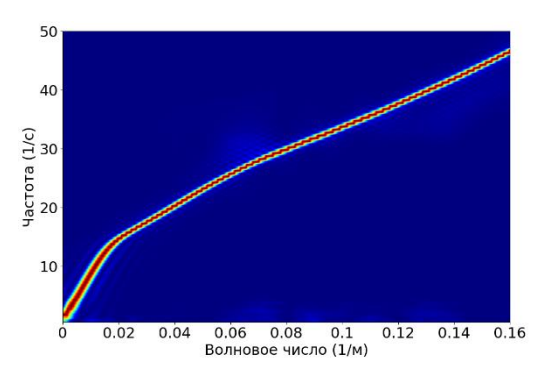
Трансформация данных в пространство *f-t-х* применением S- преобразования

 $\Omega(u, f, k) = |FT[\hat{g}(x, x/u, f)](x)|$



Перебор возможных наклонов и поиск суммарного максимума вдоль наклона на каждой частоте. Расчет 1D-Фурье вдоль *х*





Построение помехоустойчивого FK-изображения, пересчет в V-f. Автоматическое извлечение дисперсионной кривой по максимумам энергии вдоль волновых чисел

Для повышения устойчивости и выделения фундаментальной кривой при ее извлечении задаются **пределы диапазонов**, а также используется кластеризация спектральных амплитуд методом **HDBSCAN**.

<u>Основные входные параметры</u>: fmin, fmax, Vmin, Vmax, ширина окна Гаусса, диапазоны пикирования и метод пикирования

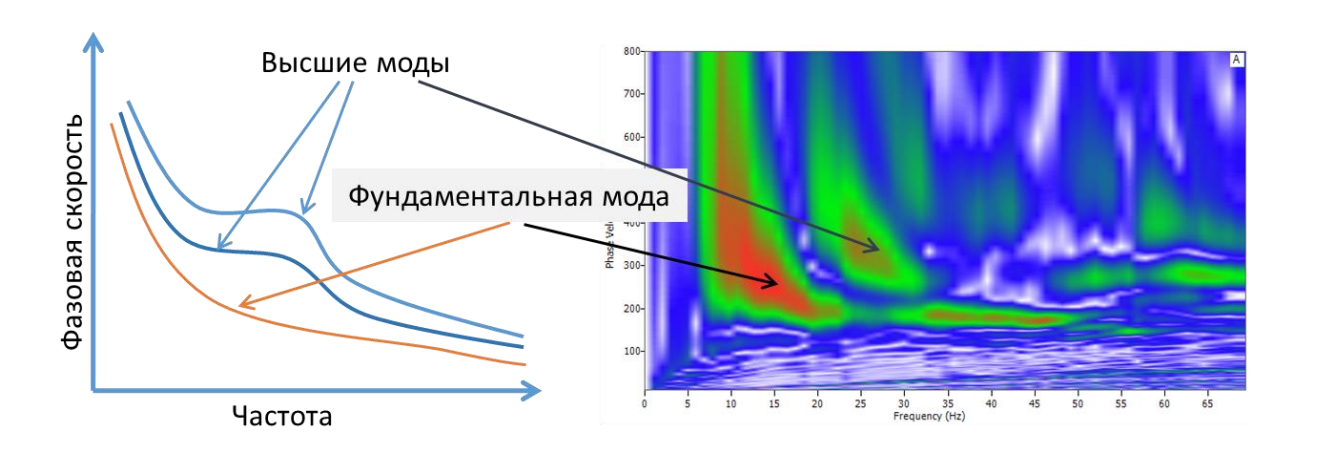
[Serdyukov A.S., Yablokov A.V., Duchkov A.A., Azarov A.A., Baranov V.D. Slant f-k transform of multichannel seismic surface wave data // Geophysics. – 2019. – T. 84. – № 1. – C. A19-A24.]

Расчет дисперсионных кривых (прямая задача)

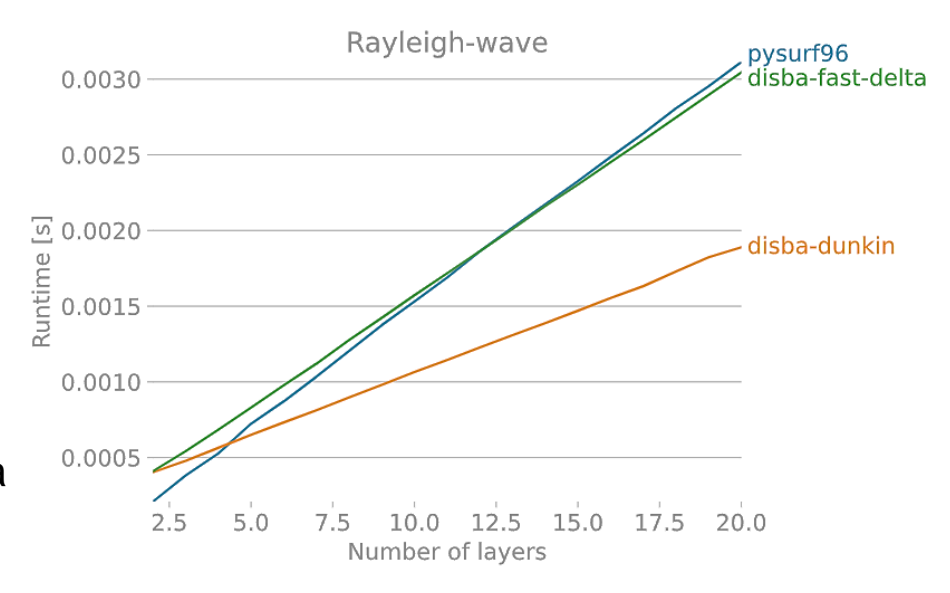
$$\rho \ddot{\mathbf{u}} - (\lambda + 2\mu) \operatorname{graddiv} \mathbf{u} + \mu \Delta \mathbf{u} = f(t) \delta(x_s)$$



$$F_R = [f, C_R, V_s, V_p, \rho, h] = 0 \quad (F_L = [f, C_L, V_s, \rho, h] = 0)$$



- □ Дисперсионная кривая рассчитывается в ходе решения задачи на собственные значения вектора движения-напряжения в рамках упругой, 1D-модели среды.
- □ Для фиксированной частоты существует некоторое множество решений **моды** дисперсионной кривой.
- □ Задача решается методом **Dunkin's matrix** [Cercato, 2007], превосходящим по скорости остальные известные подходы: fast delta matrix [Buchen, 1996], метод Томсона Хаскелла [Thomson, 1950; Haskell, 1953].



Этап 3 – Инверсия (обратная задача)

Обратная задача состоит в подборе скоростной модели (*m*), для которой расчетная кривая будет близка к наблюденной:

$$\pmb{MAE}ig(V_R^{\text{извлеченная}} - \pmb{V}_R^{\text{рассчетная}}(\pmb{m})ig) o min$$

Традиционно задача решается двумя подходами:

Локальная оптимизация (алгоритм Оккама и др.)[Xia et al., 1999; Lai, 2005]

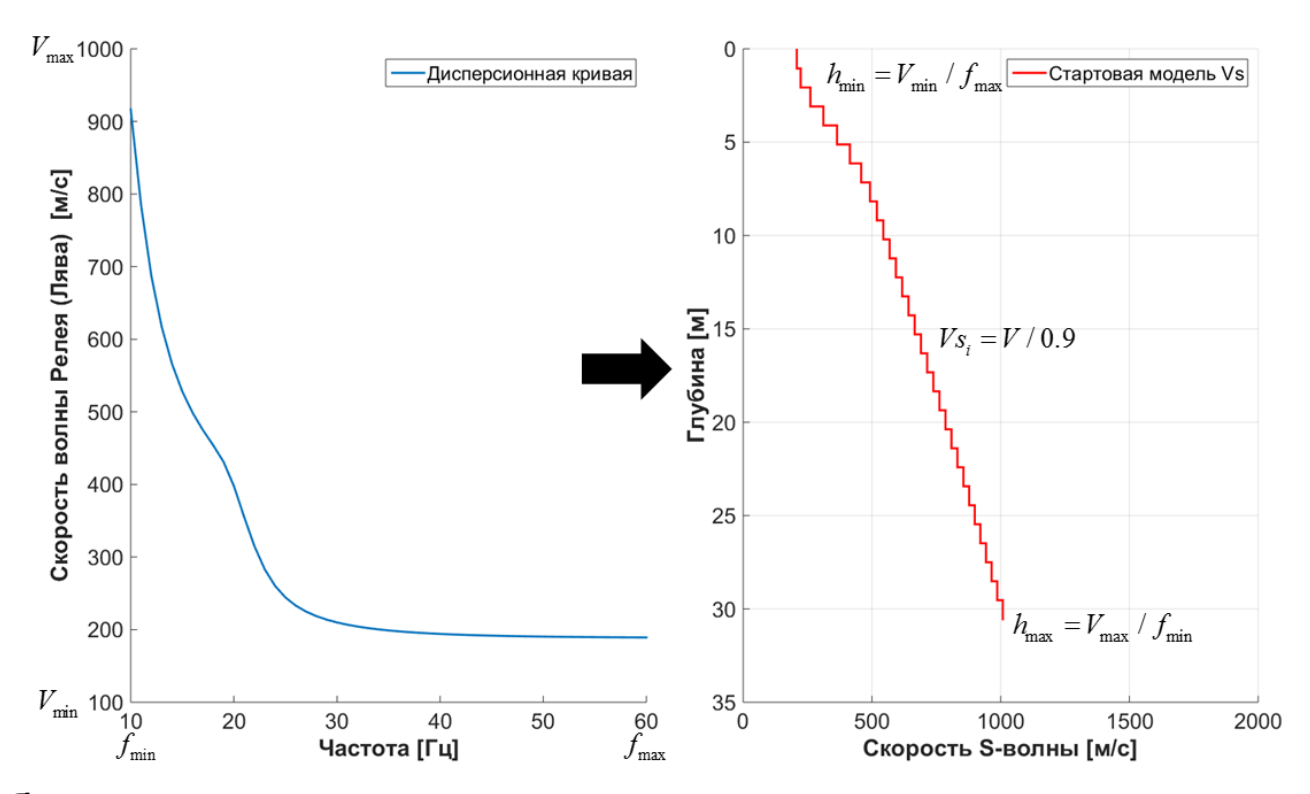
- ✓ Решение гладкие модели (большое число слоев, только Vs)
- ✓ Необходима хорошая начальная модель
- ✓ Вычислительно простые
- ✓ Низкая точность определения глубины границ слоёв

Глобальная оптимизация (алгоритмы SSA, GWO и др.)
[Song et al., 2015; Cox and Teague, 2016]

- ✓ Решение слоистые модели (Vs и мощность слоев)
- ✓ Необходимо определять диапазоны поиска параметров
- ✓ Вычислительно сложные
- ✓ Больше настраиваемых параметров

Этап 3 – Инверсия локальной оптимизацией (Оккама)

Построение начальной модели

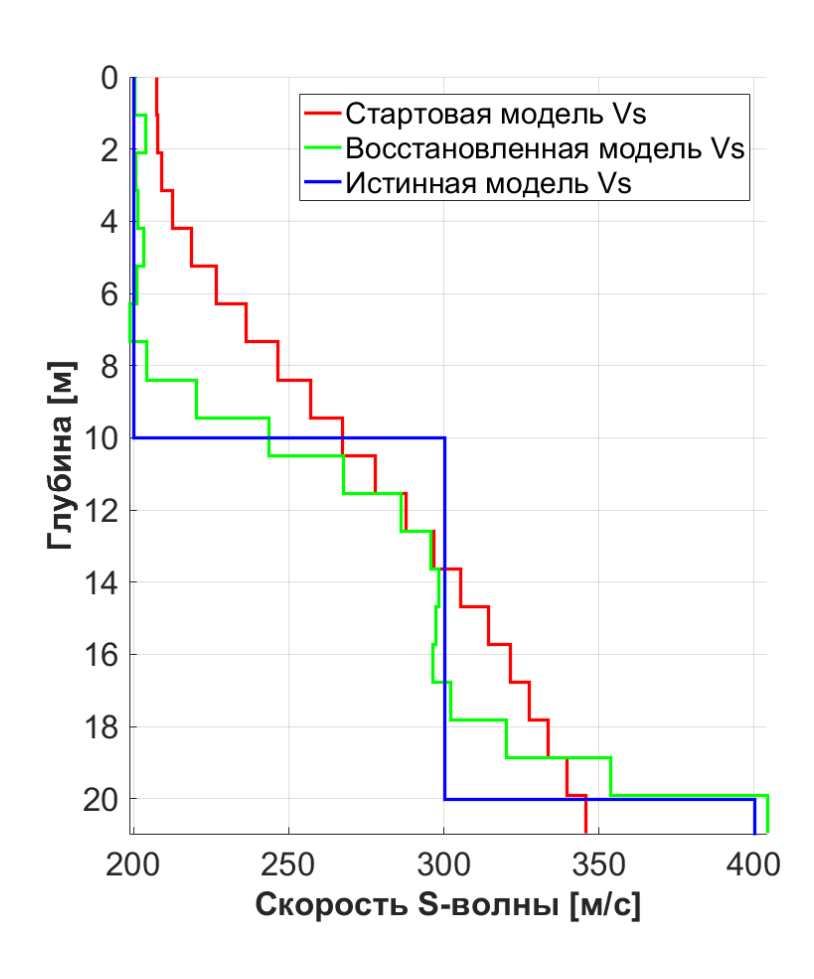


Обратная задача линеаризуется на каждой итерации, где ищется добавка к скоростной модели

$$\begin{aligned} dV_{_{\mathrm{S}}} &= \left\{ \mu(\partial^{\mathrm{T}}\partial) + \left[\left(J_{_{\mathrm{S}}} \right)_{V_{\mathrm{S}_{0}}} \right]^{\mathrm{T}} \left[\left(J_{_{\mathrm{S}}} \right)_{V_{\mathrm{S}_{0}}} \right] \right\}^{-1} \left[\left(J_{_{\mathrm{S}}} \right)_{V_{\mathrm{S}_{0}}} \right]^{\mathrm{T}} \left[V_{R(L)}^{\mathsf{Ha6}\mathsf{D}} - V_{R(L)}^{\mathsf{pac4}} \left(V_{\mathrm{S}_{0}} \right) \right], \\ V_{_{\mathrm{S}}} &= V_{_{\mathrm{S}_{0}}} + dV_{_{\mathrm{S}}} \end{aligned}$$

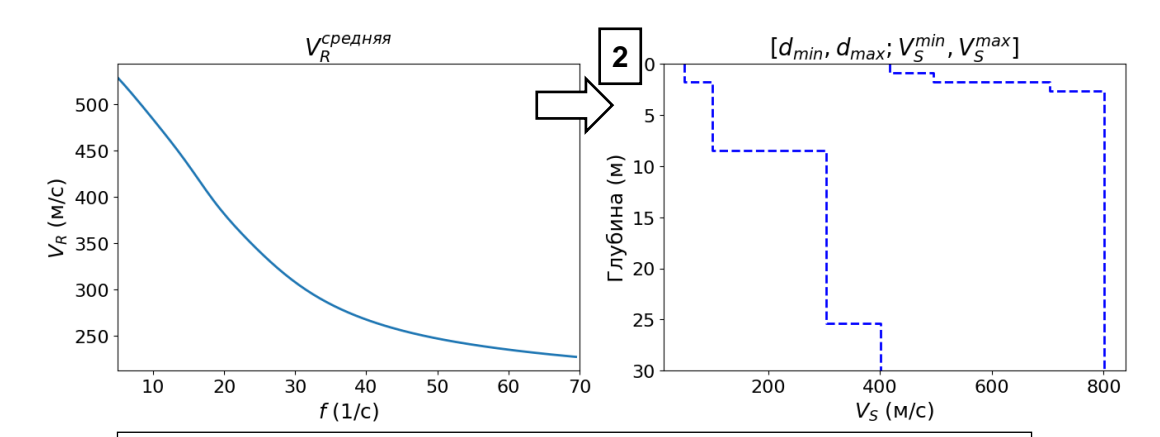
Основные входные параметры:

число итераций, число слоев



Этап 3 – Инверсия глобальной оптимизацией (SSA и GWO)

Оценка диапазонов поиска параметров



$$d_{min}$$
 и d_{max} [Cox, Teague, 2016]:

$$d_{\min}^{i} pprox \begin{cases} \lambda_{\min}/3 & \text{при } i = 1 \\ d_{\max}^{i-1} & \text{при } i > 1 \end{cases}$$

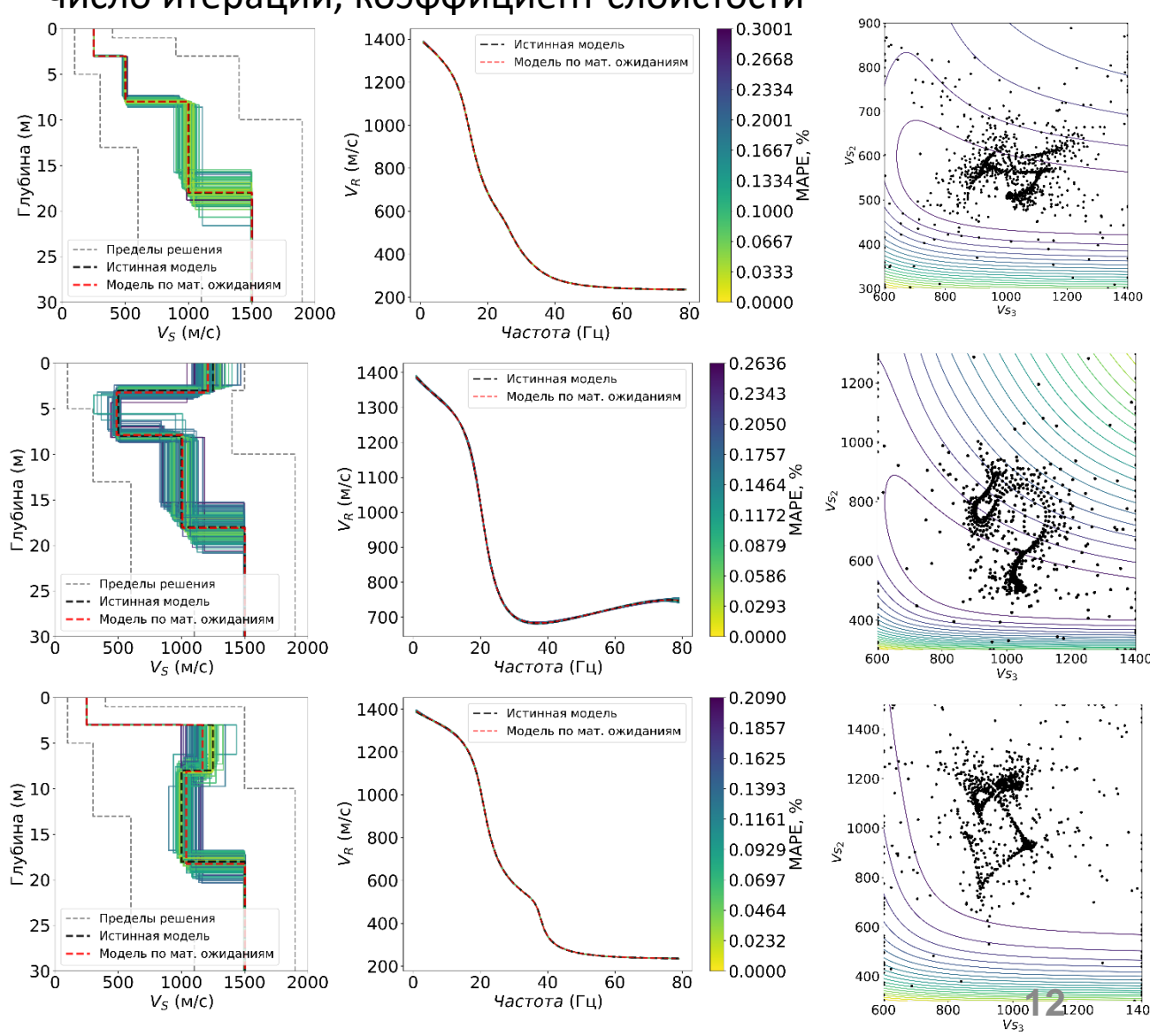
$$d_{\max}^{i} pprox egin{cases} \lambda_{\min} & \text{при } i = 1 \ d_{\min}^{i} + \Xi \cdot \lambda_{\min} & \text{при } i = 2 \ d_{\min}^{i} + \Xi \cdot (d_{\max}^{i-1} - d_{\min}^{i-1}) & \text{при } i > 2 \end{cases}$$

 V_S^{min} и V_S^{max} :

$$V_R(\lambda) o V_S(d)$$
, при $d \approx \lambda/2$, $V_S \approx 1.16 V_R$
$$V_S^{i,min,max} = V_S \big(d_{mean}^i \big) - / + 0.5 V_S \big(d_{mean}^i \big)$$

Основные входные параметры:

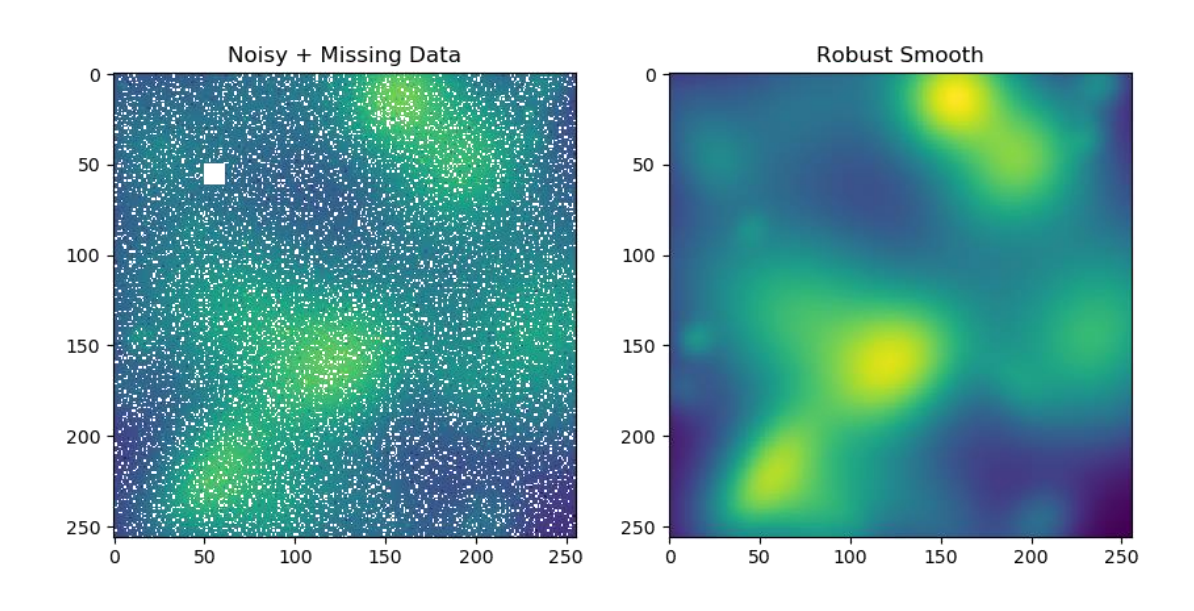




Этап 4 – Постпроцессинг

- 1. Линейная интерполяция моделей на заданный шаг.
- 2. Сглаживание 2D-моделей алгоритмом с фильтрацией выбросов и восстановления пропусков

Основные входные параметры: dx, dy, dz, фактор сглаживания, флаг на обработку выбросов



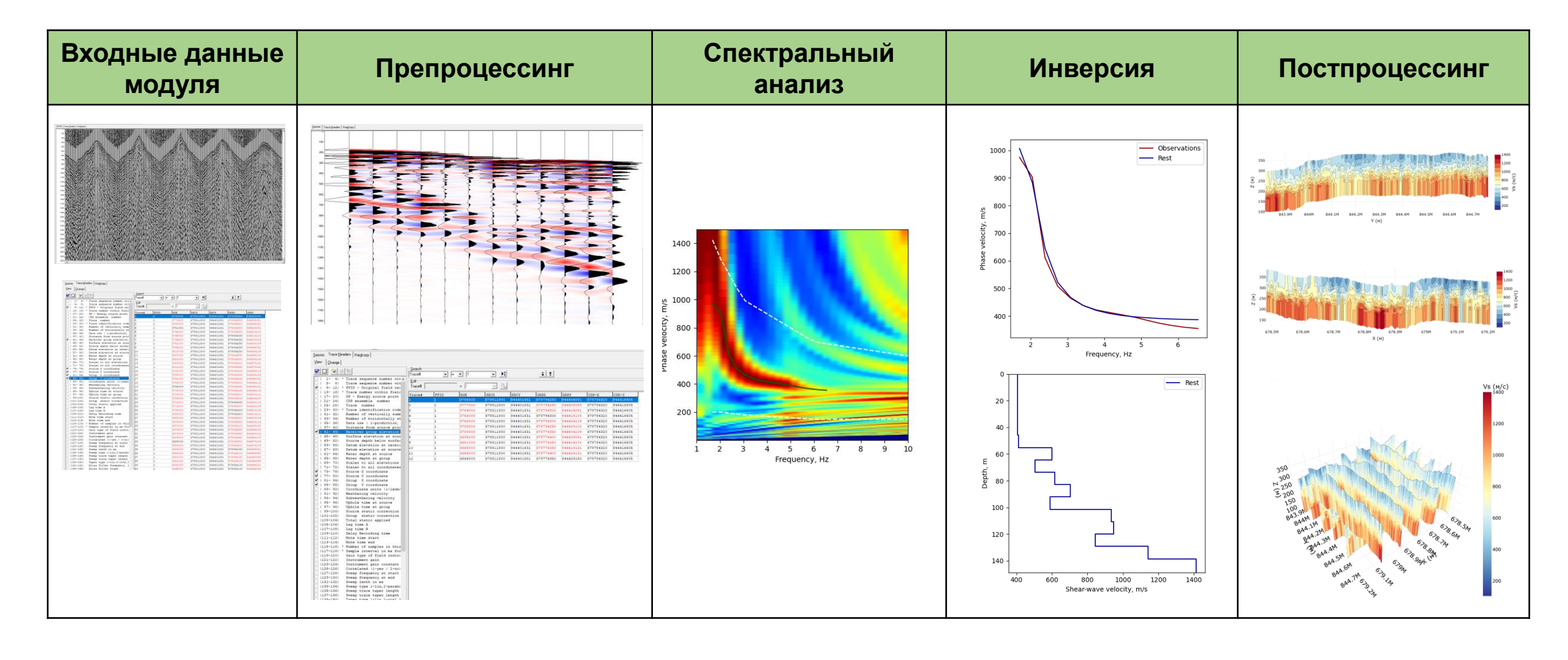
Алгоритм сглаживания основан на пенализированном МНК и дискретном косинусном преобразовании.

[Garcia, 2010 - Robust smoothing of gridded data in one and higher dimensions with missing values]

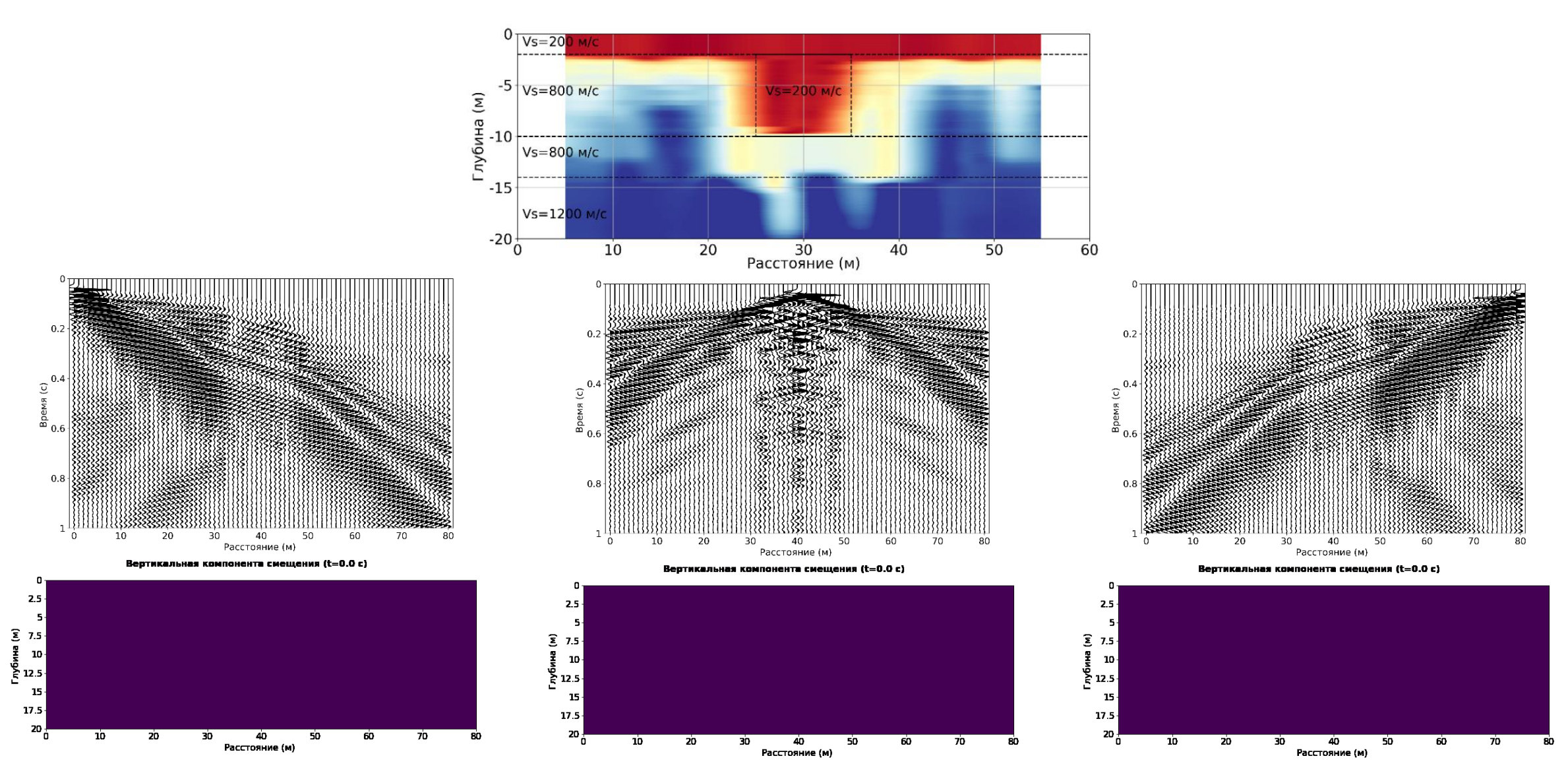
Входные параметры по этапам модуля

Входные данные модуля	Препроцессинг	Спектральный анализ	Инверсия	Постпроцессинг
Сейсмотрассы,	ffid_start: 1	spectral_method: sfk	inversion_method: occam	max_depth: 200
FFID,	ffid_stop: 5	fmin: 1	niter: 50	d_x: 500
SourceX,	ffid_increment: 1	fmax: 10	wavetype: rayleigh	d_y: 500
SourceY,	path4ffid_file: \ffid.txt	vmin: 1	veltype: phase	d_z: 5
GroupX,	data_dir: \data_3d	vmax: 1500	vp_model: vp	smooth_factor: 150
GroupY	type_data: 3d	extract_dc_method: dbscan	lock_vp: False	interp_dim: 1d
	offset_min: 0	path4dc_limits: \dc_lim.csv	path4vp_model: \vp.sgy	vmin_in_model: 200
	offset_max: 600	qc_spectral: True	qc_inversion: True	vmax_in_model: 1400
	qc_preprocessing: True	desired_nt: 500	model_ranges:	num_xslices_3d: 3
	both_flank: True	desired_nx: 500	path4vs_limits: \vs_lim.csv	num_yslices_3d: 3
	sort_3d_order: csp	smooth_data: True	xi: 2.2	error_trh: 20
	num_sectors: 10	width: 0.5	get_num_layers: every	
	bin_size_x: 100		nlay: 20	
	bin_size_y: 100			

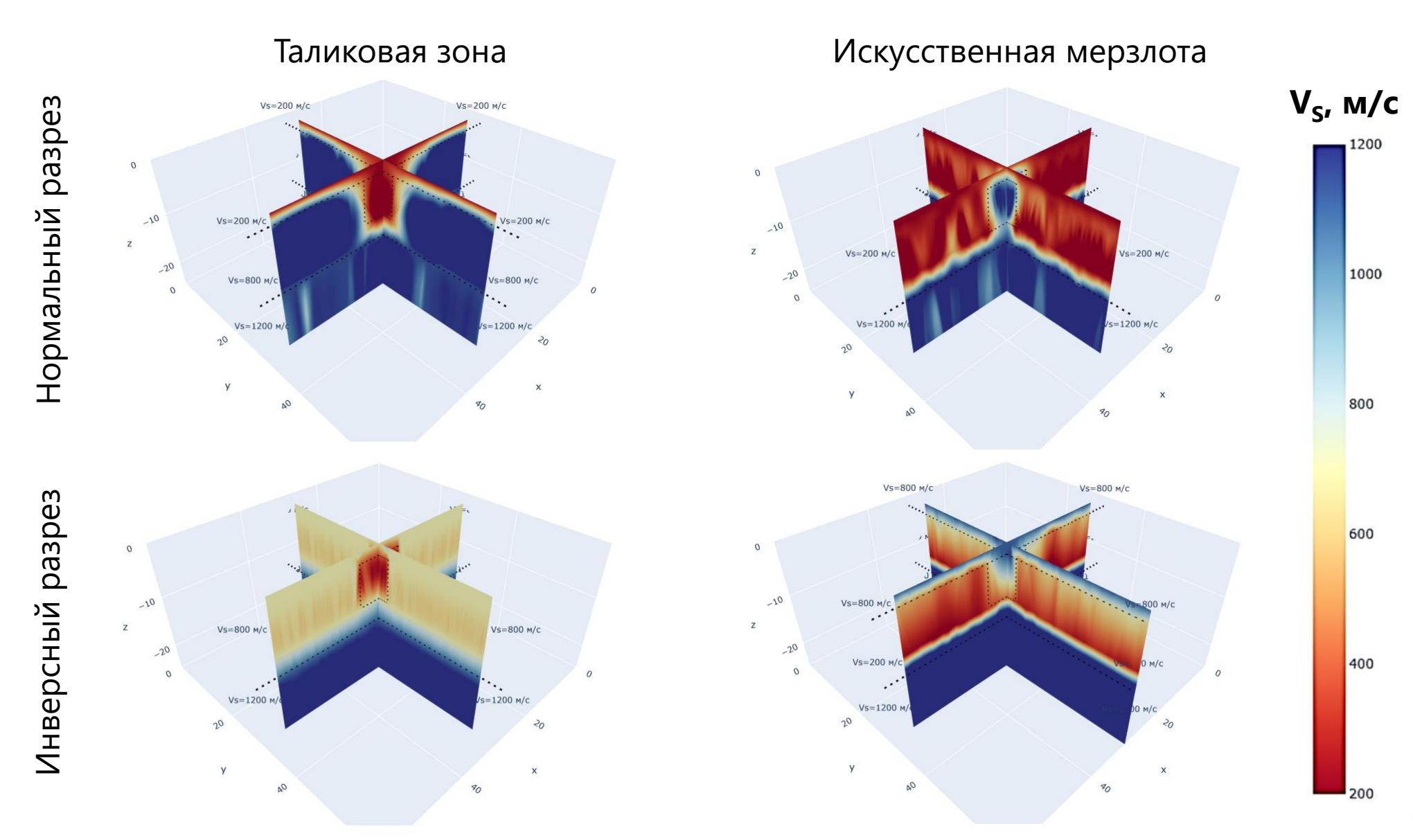
QC по этапам модуля



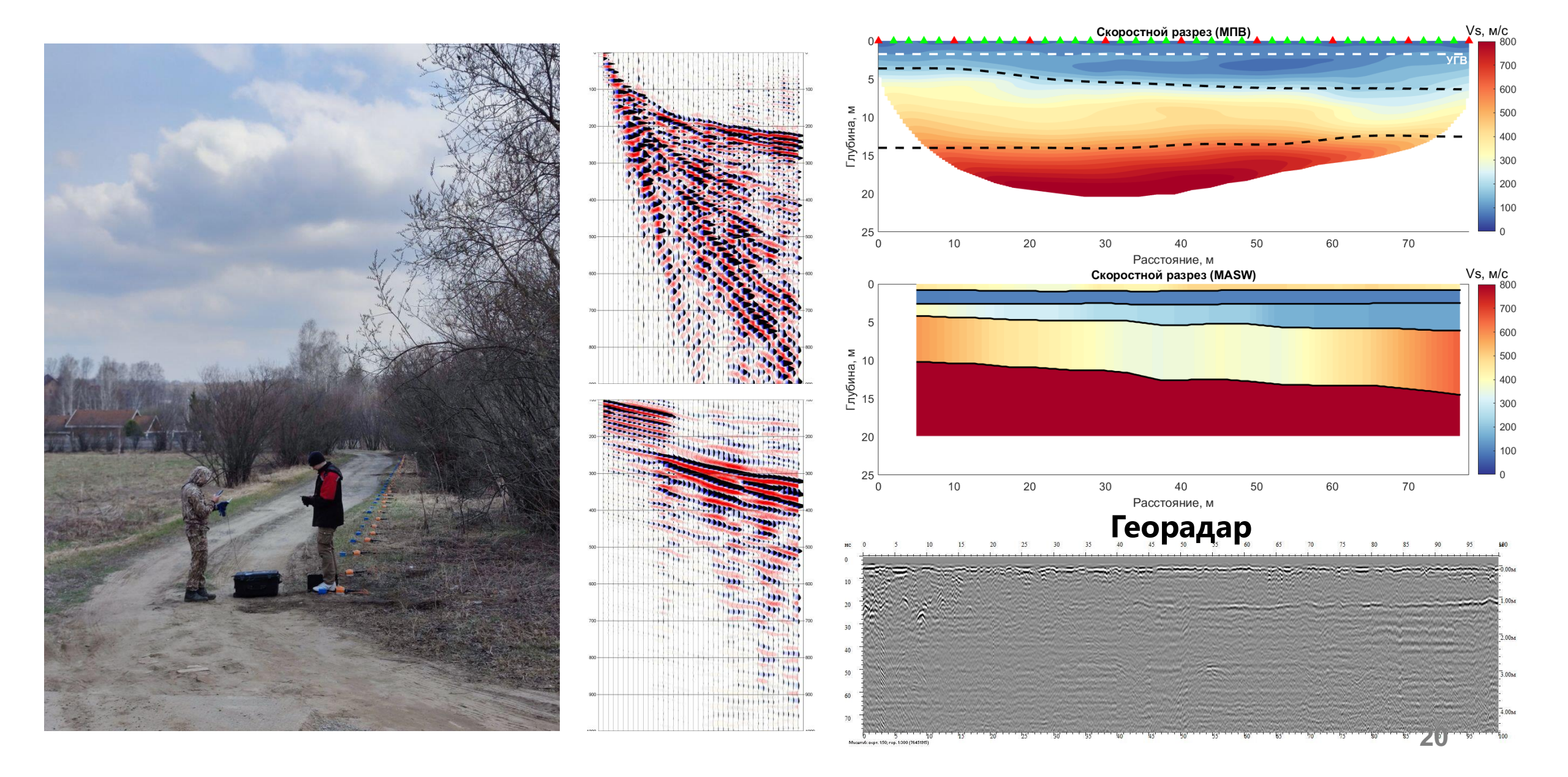
Тестирование на синтетических данных



Тестирование на синтетических данных



Апробация на реальных данных. Малоглубинная сейсморазведка. НСО



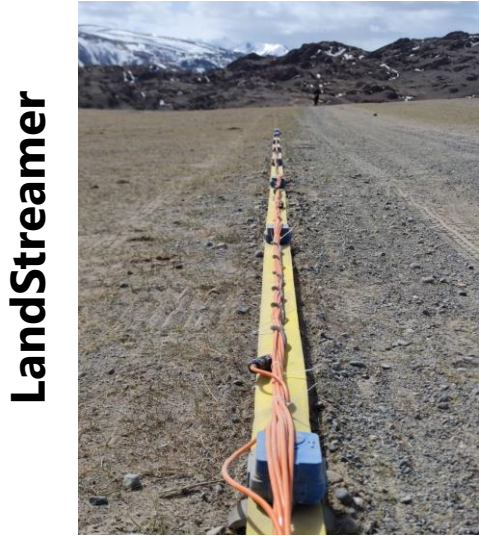
Апробация на реальных данных. Малоглубинная сейсморазведка. Алтай





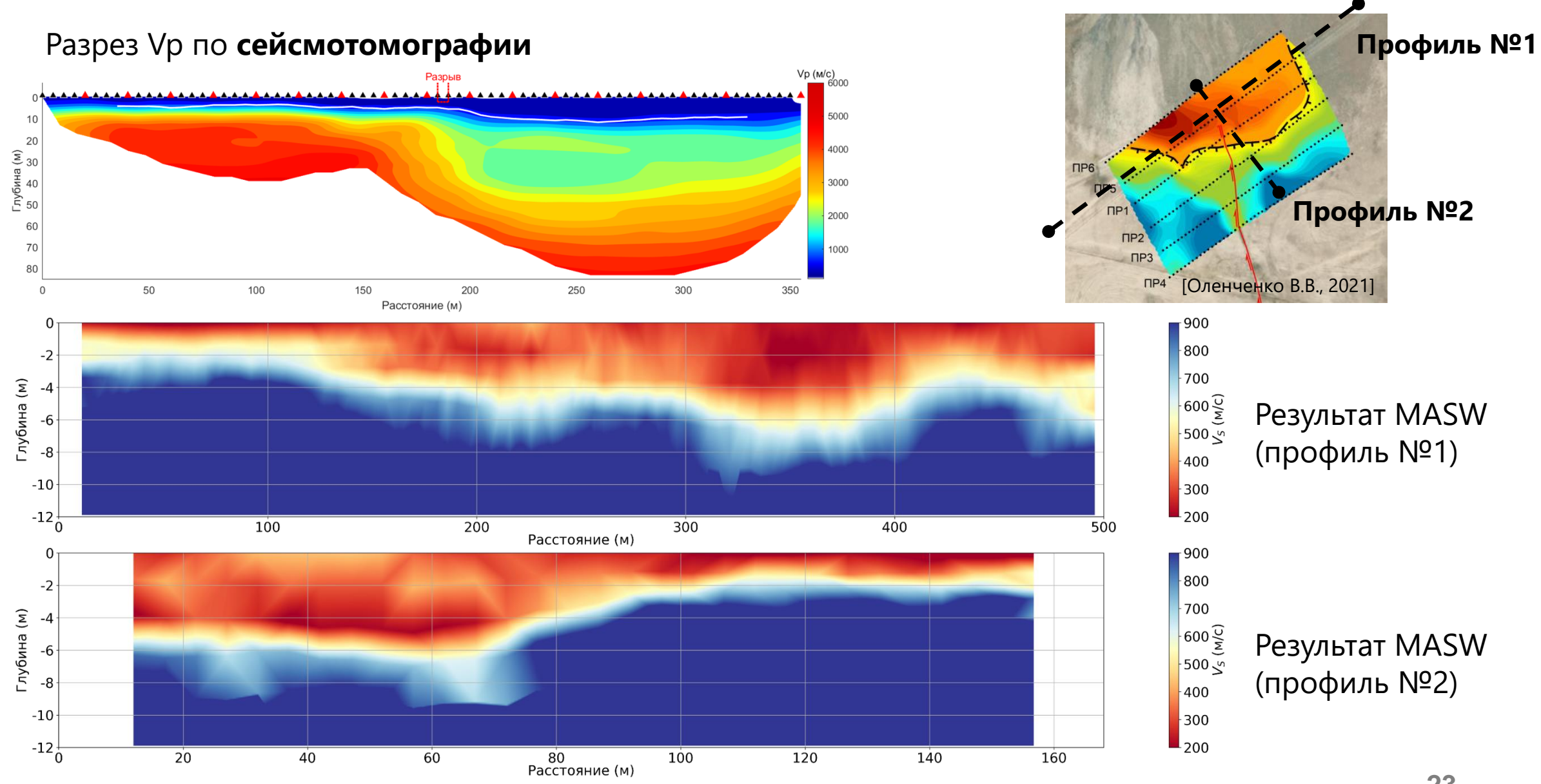




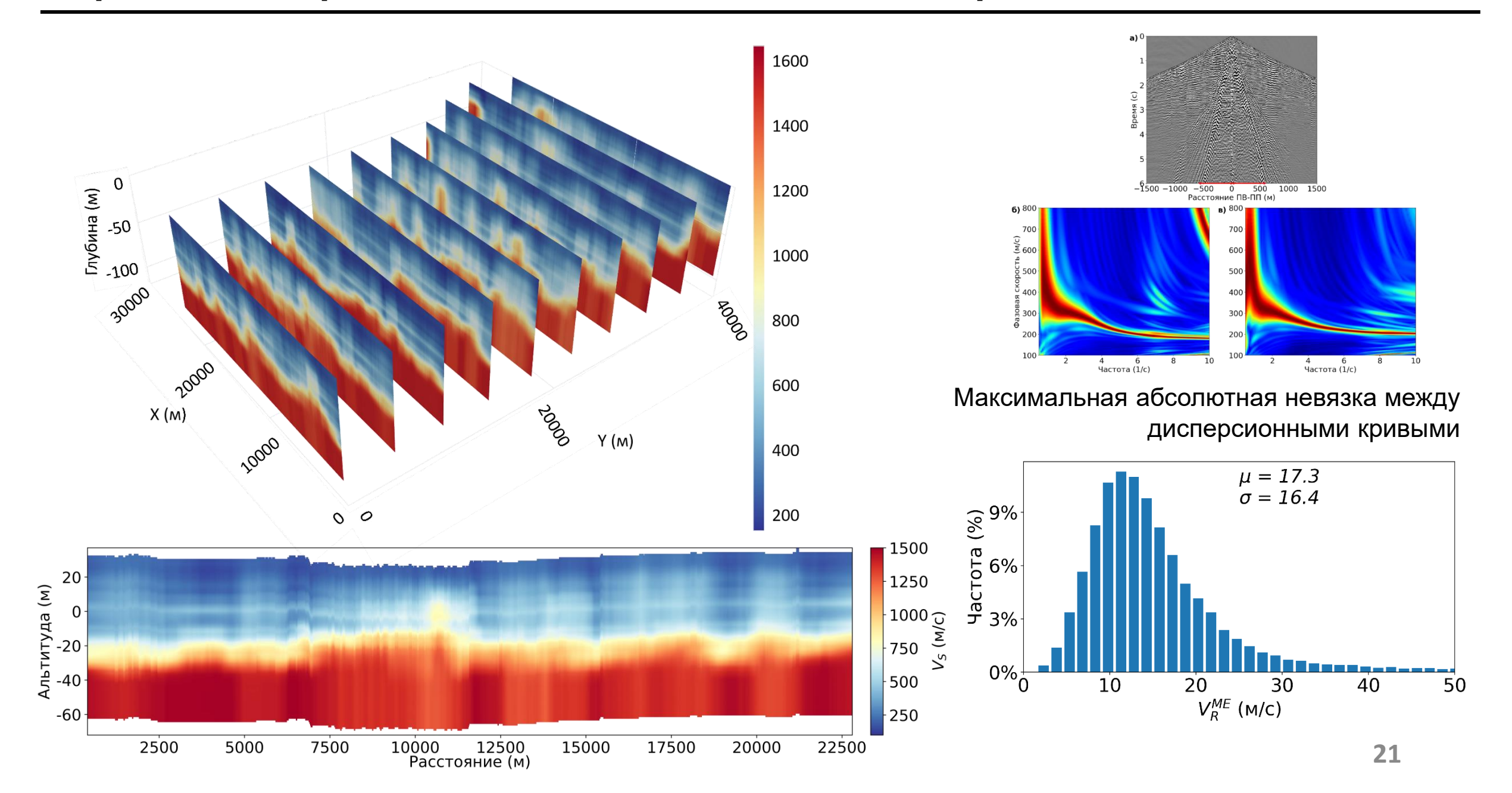




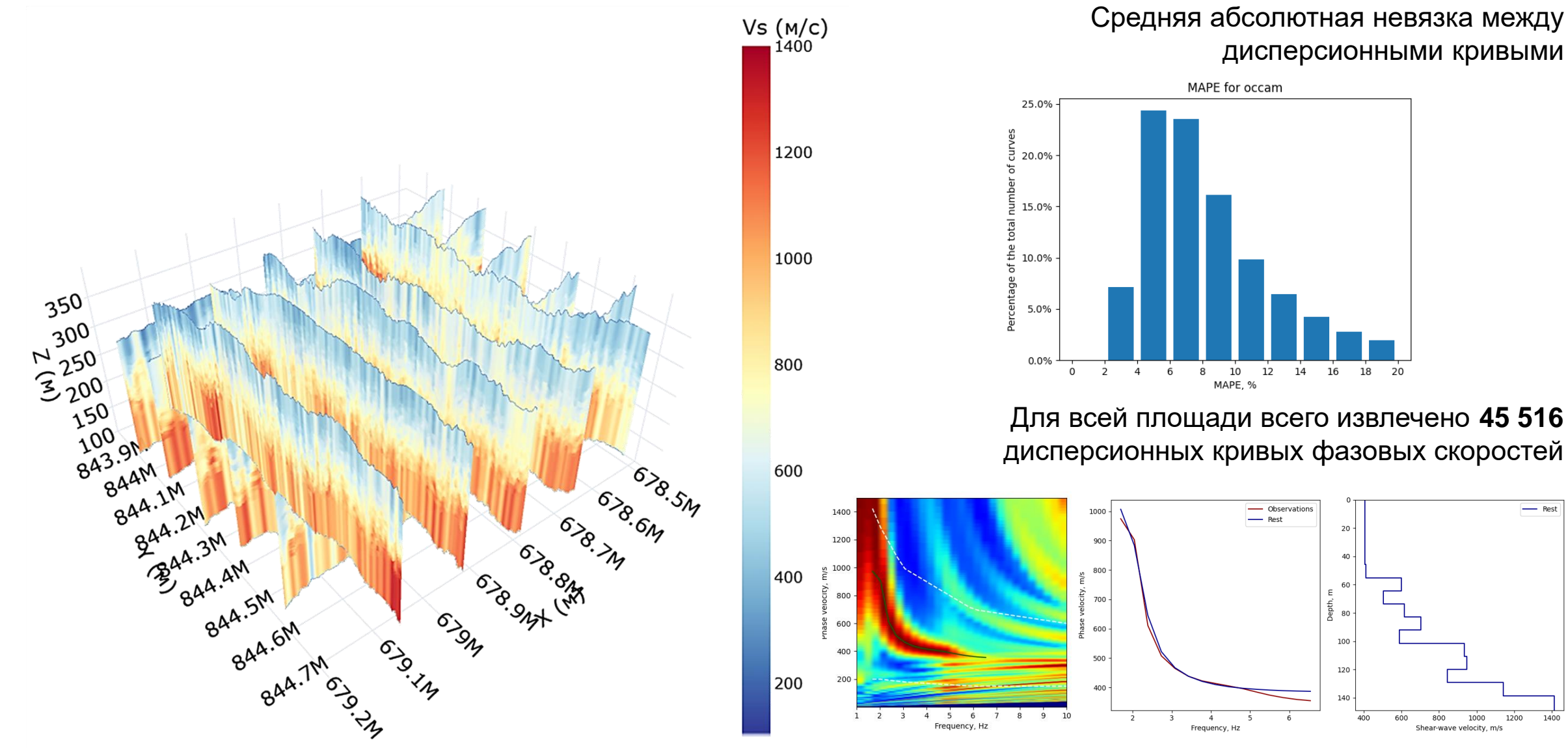
Апробация на реальных данных. Малоглубинная сейсморазведка. Алтай



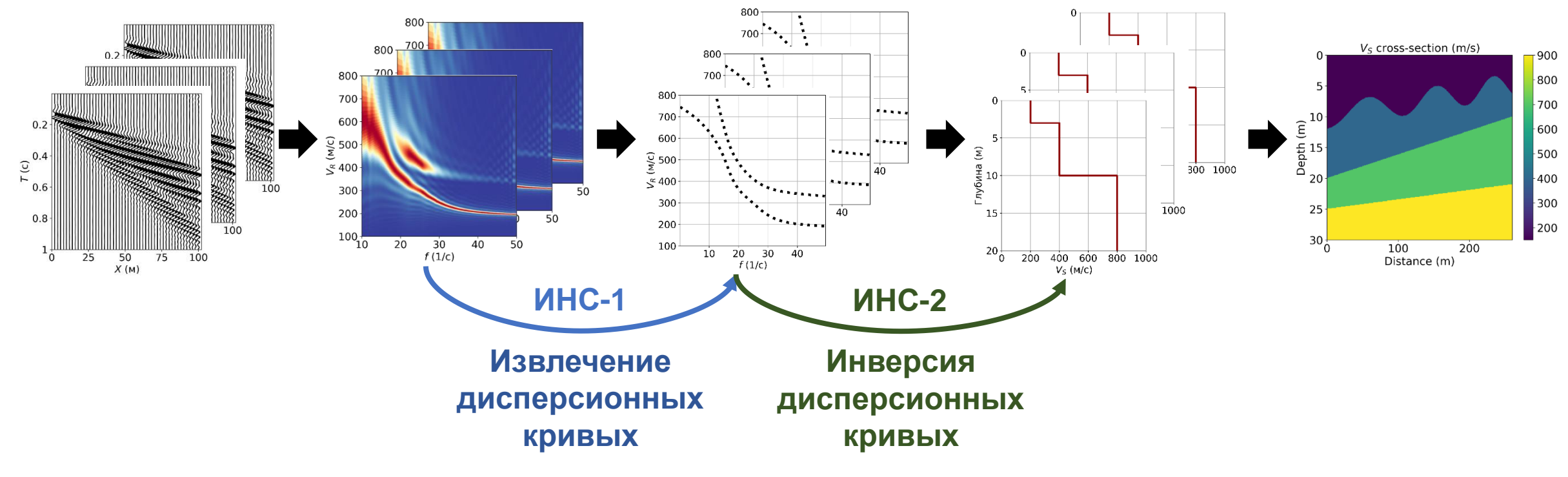
Апробация на реальных данных. Западная Сибирь. 2D



Апробация на реальных данных. Пакистан. 3D

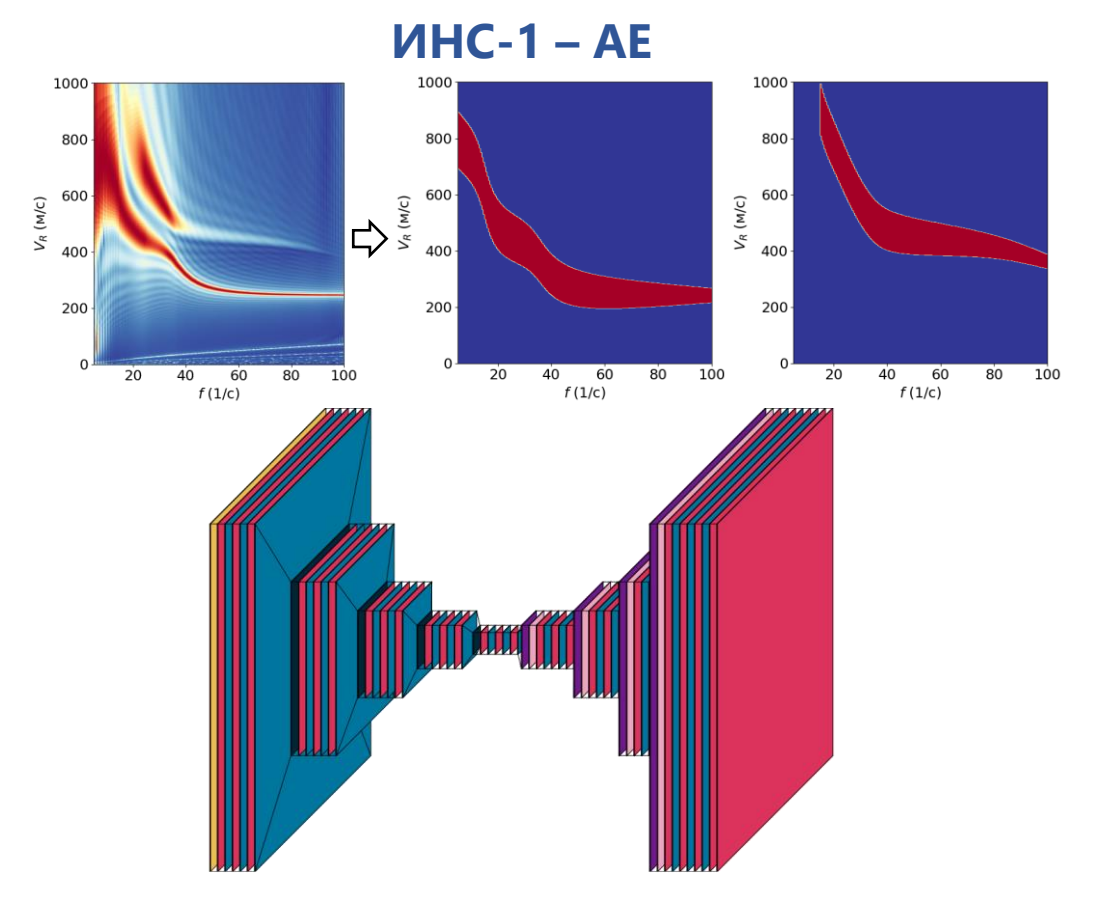


Ближайшее будущее модуля SWI



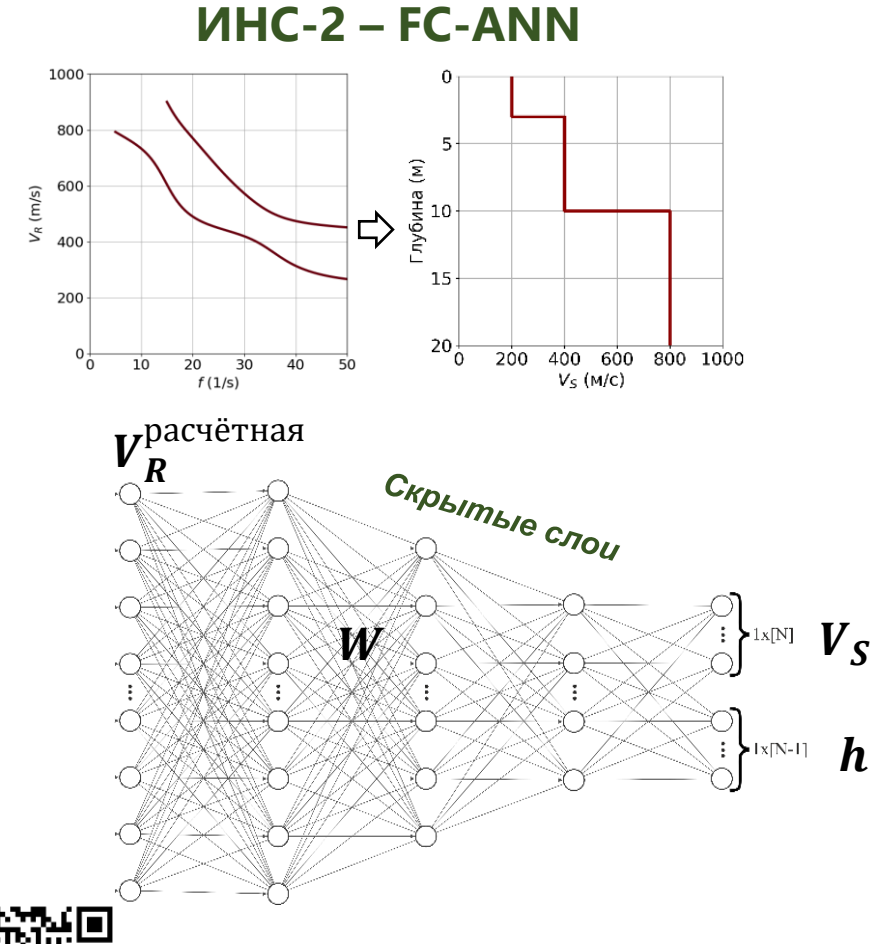
- 1. Препроцессинг
- 2. Трансформация сейсмограмм в дисперсионные изображения
- 3. Извлечение дисперсионных кривых с помощью нейронной сети типа автоэнкодер
- 4. Инверсия дисперсионных кривых с помощью полносвязанной нейронной сети
- 5. Построцессинг

Архитектуры ИНС



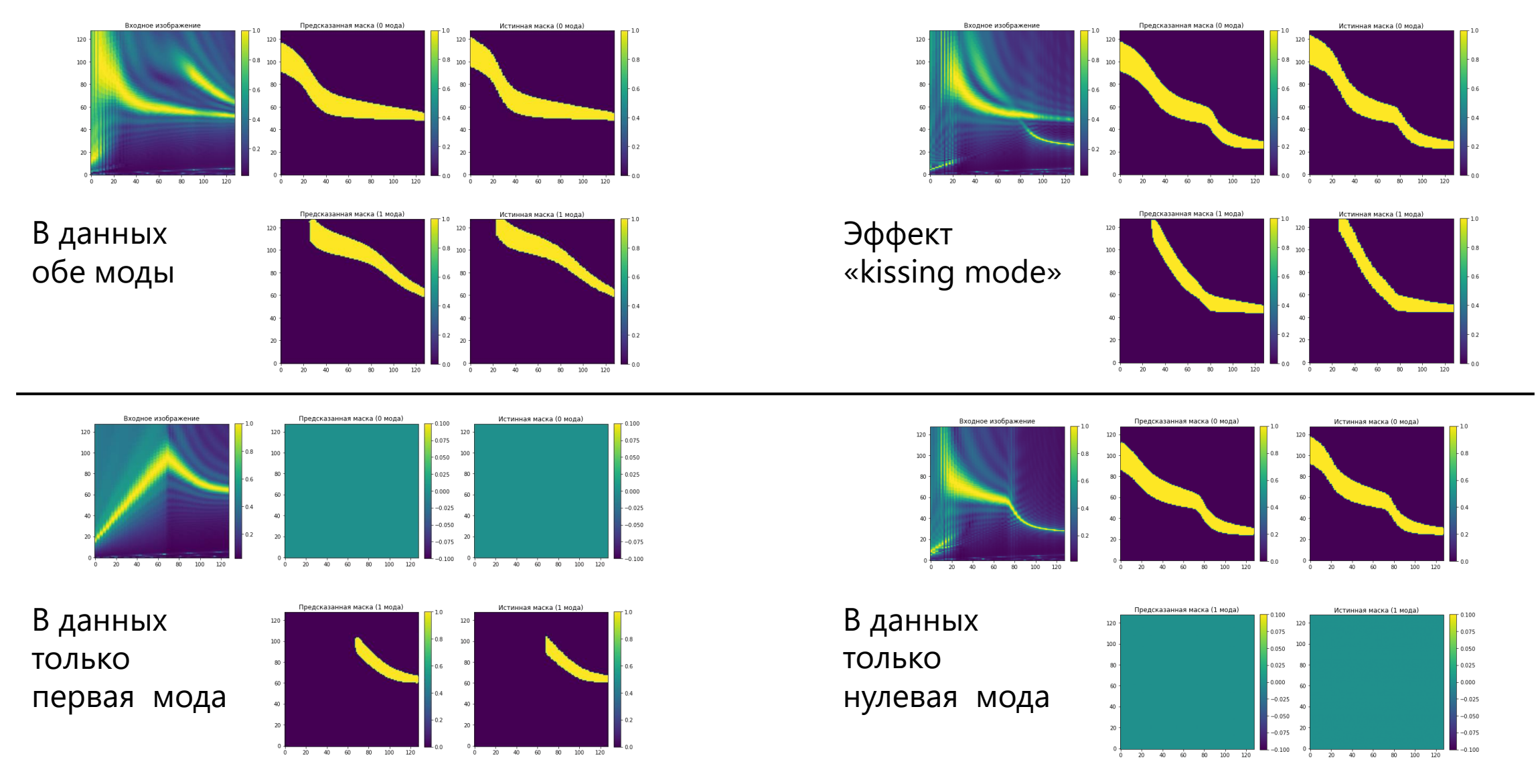


Камашев А. М., Дучков А. А. Применение машинного обучения для адаптивного вычитания кратных отраженных волн // Геофизические технологии – 2023.

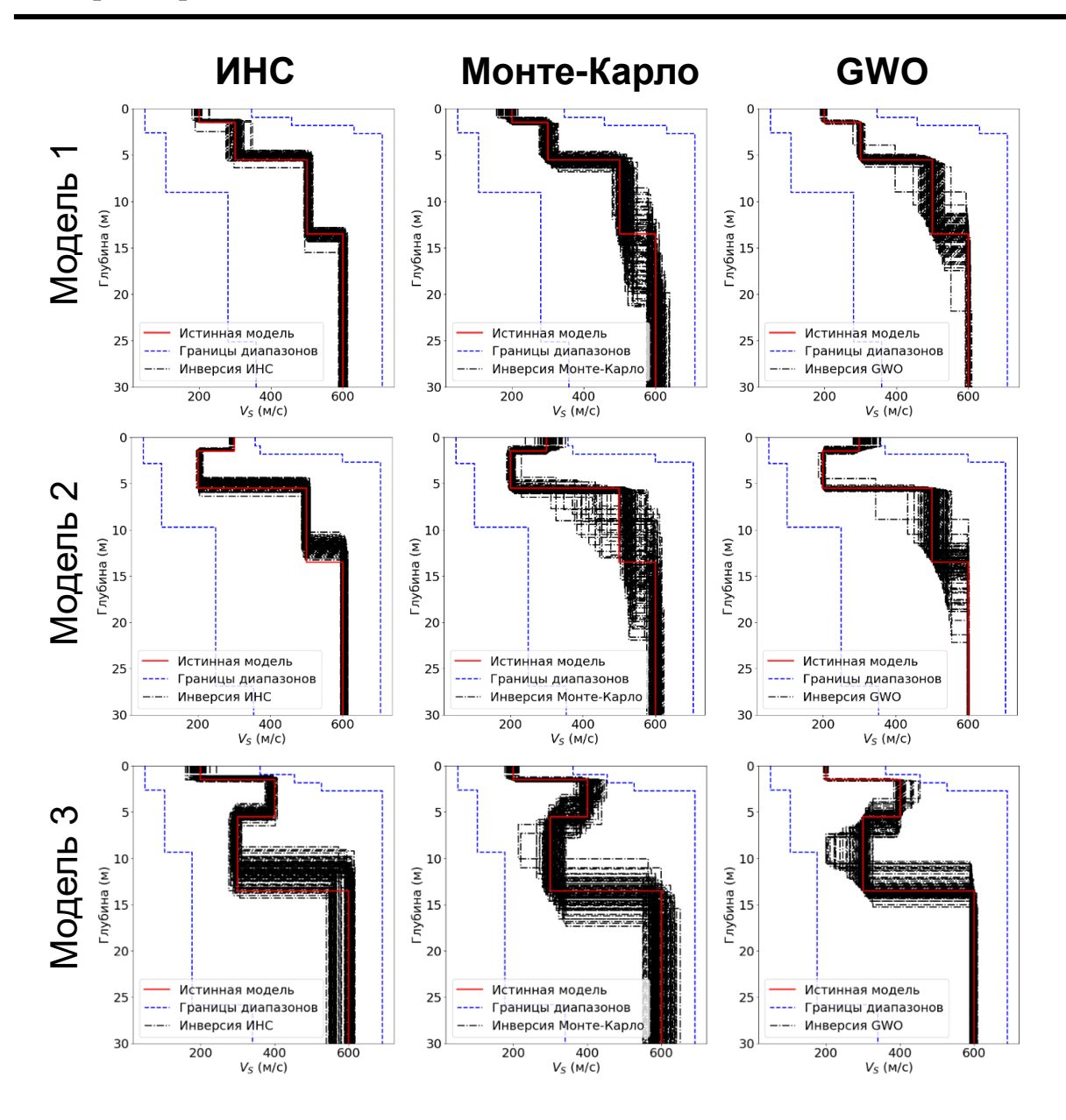


Yablokov A.V. et al., An artificial neural network approach for the inversion of surface wave dispersion curves // Geophysical Prospecting – 2021.

Верификация ИНС-1 – АЕ на синтетических данных



Верификация ИНС-2 – FC-ANN



- □ С использованием ИНС повышается устойчивость решения обратной задачи.
- □ С использованием ИНС время вычисления растёт незначительно при увеличении числа дисперсионных кривых.

Количество кривых	ИНС	Монте- Карло	GWO
1	< 1	< 1	~ 30
100	< 1	~ 5	~ 3 000
50 000	< 1	~ 160	~ 1 500 000
1 000 000	~ 10	~ 3 100	~ 30 000 000

Время решения обратной задачи (в секундах).

Заключение

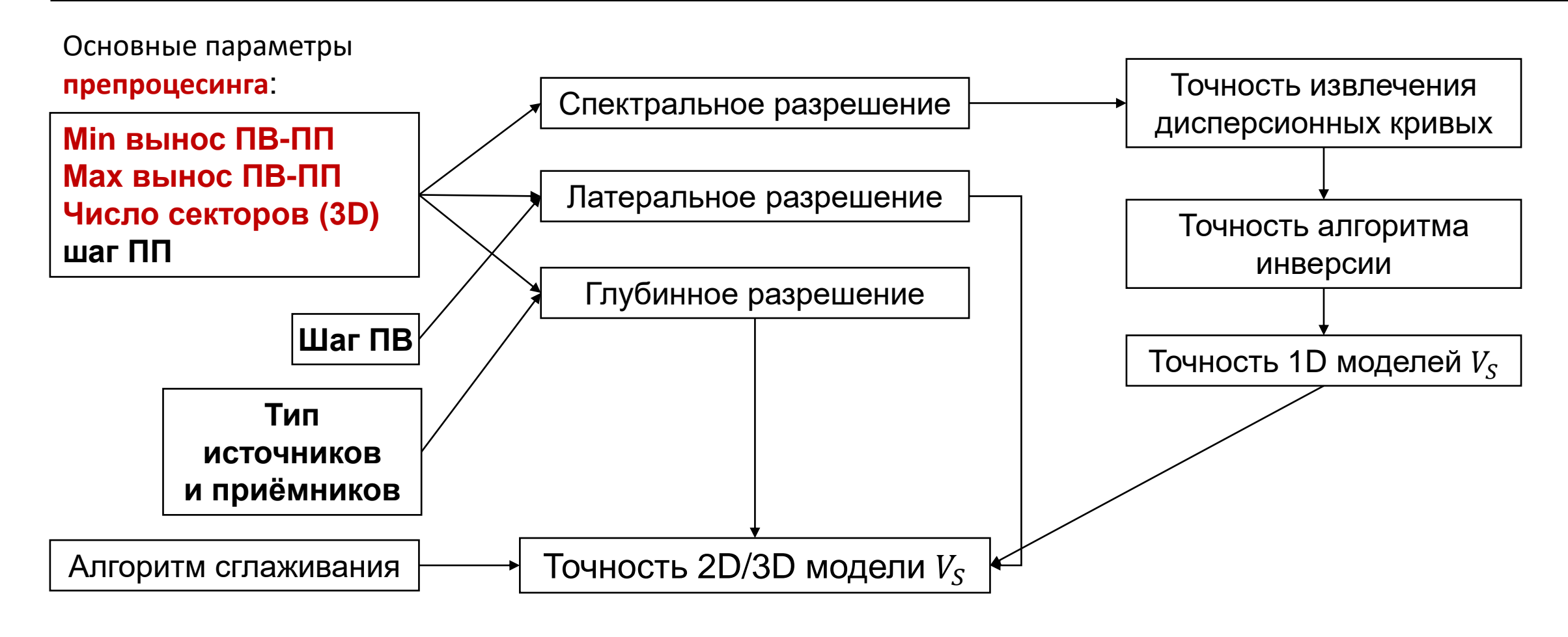
- □ Функциональные возможности модуля SWI:
 - ✓ Предобработка данных 2D и 3D
 - ✓ Выполнение спектрального анализа (алгоритмы FKT, SFK)
 - ✓ Автоматическое извлечение дисперсионных кривых (алгоритмы **max**, **hdbscan**)
 - ✓ Построение начального приближения, определение диапазонов поиска и инверсия извлеченных дисперсионных кривых (алгоритмы **Оккама**, **SSA** и **GWO**)
 - Устойчивое сглаживание с обработкой выбросов и пропусков
- □ Разработанный модуль SWI протестирован, верифицирован и апробирован на реальных данных
- □ Развитие модуля SWI сфокусировано в повышении точности и скорости работы на основных этапах с помощью искусственных нейронных сетей

Спасибо за внимание!

Яблоков Александр Викторович к.ф.-м.н., с.н.с. НГУ / ИНГГ СО РАН yablokovav@ipgg.sbras.ru

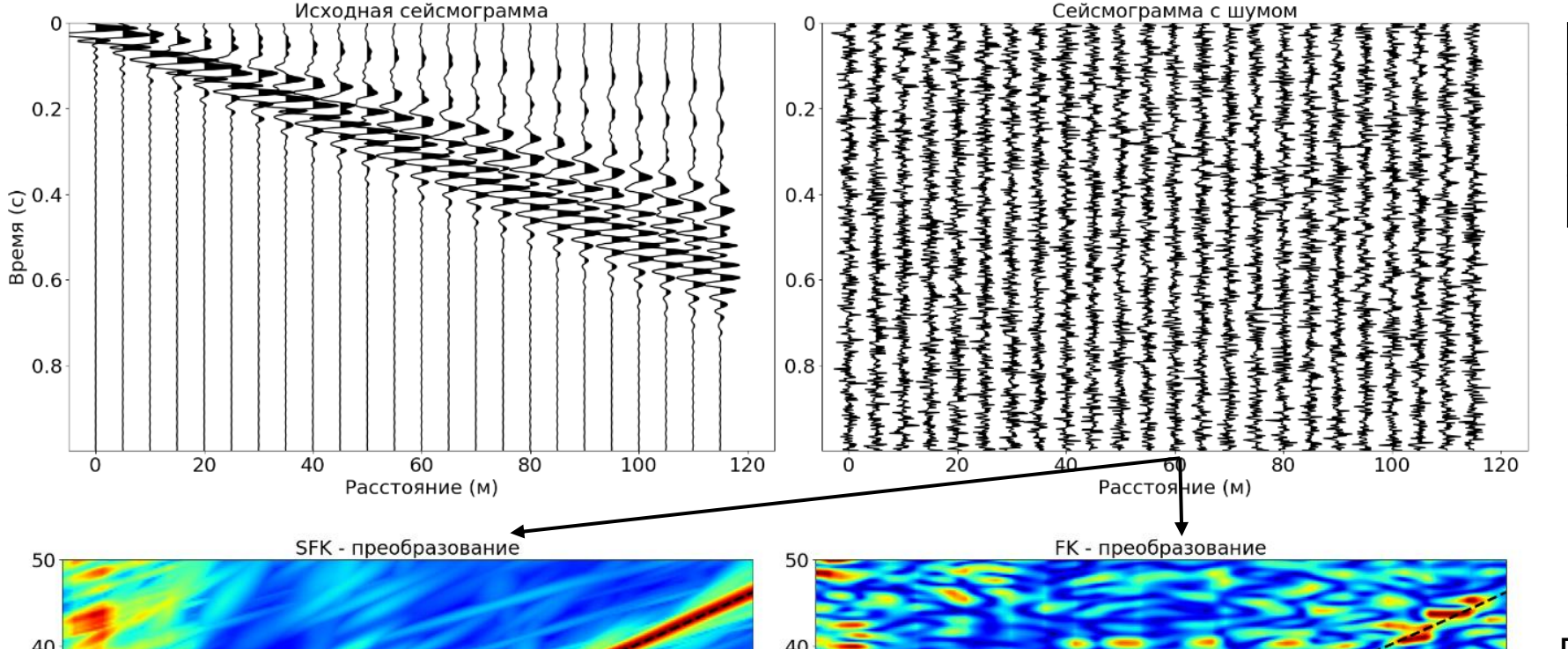


Этап 1 – Препроцессинг. Влияние параметров препроцессинга на результат



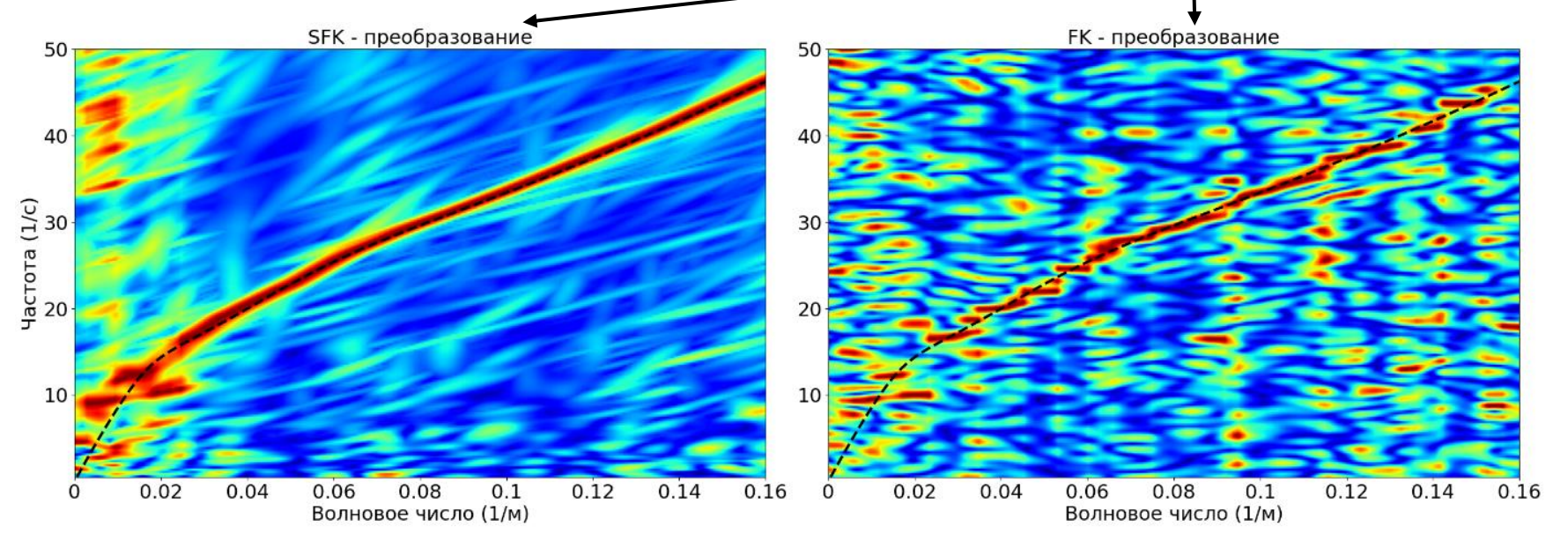
[Рекомендации по выбору параметров системы наблюдений для MASW можно найти здесь: masw.com, («LLC Park Seismic»)]

Этап 2 – Спектральный анализ. Сопоставление SFK и FKT



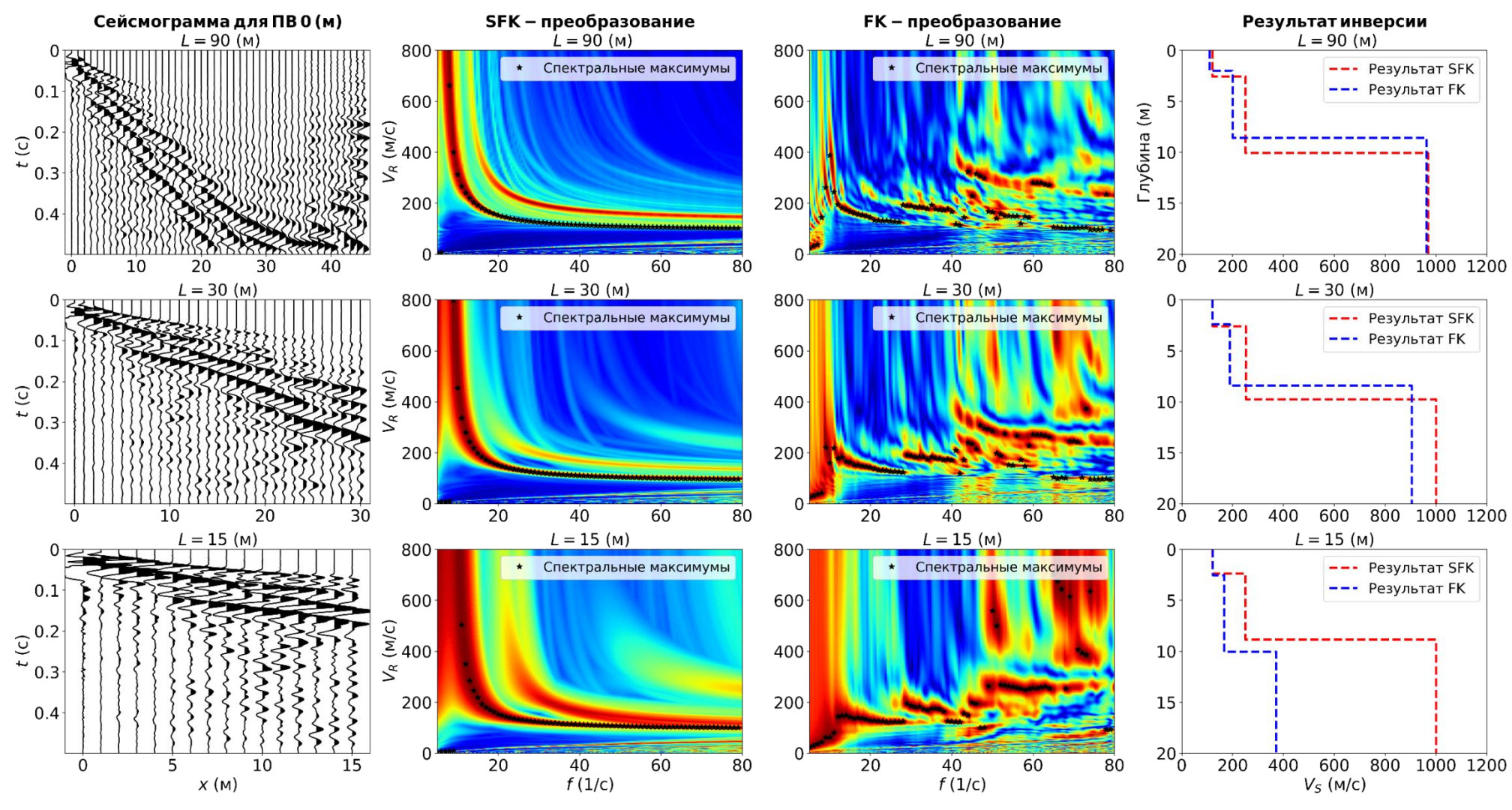
Слой	<i>V_S</i> (м/с)	V _P (м/с)	<i>o</i> (кг/м³)	<i>h</i> (м)
1	300	500	1700	7
2	600	1500	1800	12
3	1000	2000	2200	∞

В каждую трассу сейсмограммы добавляется аддитивный белый Гауссовский шум с SNR = -15 дБ.



При использовании разработанного алгоритма повышается точность построения дисперсионной кривой при наличии случайных помех в данных

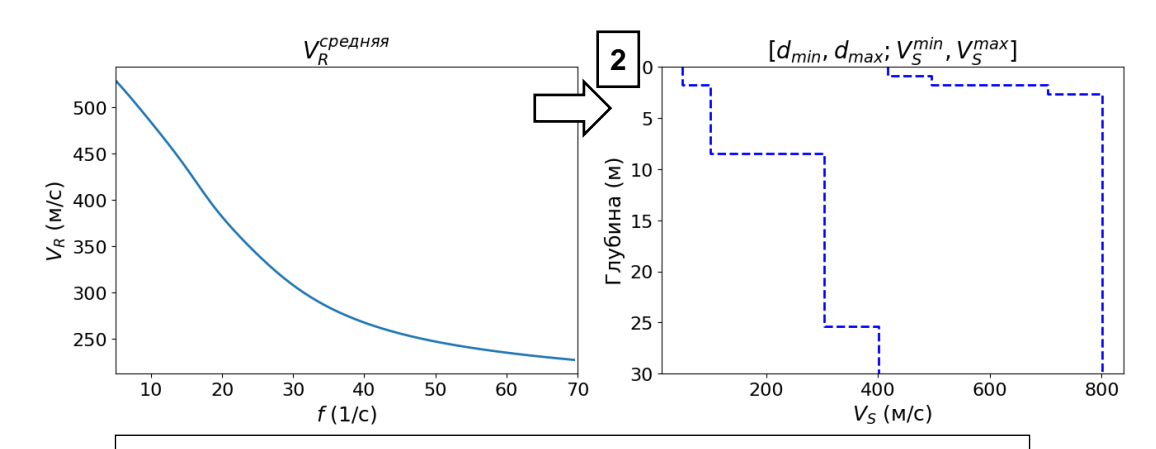
Этап 2 – Спектральный анализ. Сопоставление SFK и FKT



При использовании разработанного алгоритма повышается точность построения дисперсионной кривой при уменьшении длины линии наблюдения: спектральные максимумы сконцентрированы в пределах фундаментальной моды, рабочий диапазон частот не уменьшается.

Этап 3 – Инверсия алгоритмами SSA и GWO

Оценка диапазонов поиска параметров



$$d_{min}$$
 и d_{max} [Cox, Teague,2016]:

$$d_{\min}^{i} pprox egin{cases} \lambda_{\min}/3 & \text{при } i=1 \ d_{\max}^{i-1} & \text{при } i>1 \end{cases}$$
 $d_{\max}^{i} pprox egin{cases} \lambda_{\min} & \text{при } i=1 \ d_{\min}^{i} + \Xi \cdot \lambda_{\min} & \text{при } i=2 \ d_{\min}^{i} + \Xi \cdot (d_{\max}^{i-1} - d_{\min}^{i-1}) & \text{при } i>2 \end{cases}$ V_{S}^{min} и V_{S}^{max} :

$$V_R(\lambda) o V_S(d)$$
, при $d \approx \lambda/2$, $V_S \approx 1.16 V_R$
$$V_S^{i,min,max} = V_S \big(d_{mean}^i \big) - / + 0.5 V_S \big(d_{mean}^i \big)$$

Основные входные параметры:

число итераций, коэффициент слоистости

Salp Swarm Algorithm (SSA)

В пространстве поиска по определенным траекториям перемещаются поисковые агенты (популяция). Популяция состоит из

Лидеров:

$$X_{ld}^{m} = \begin{cases} G_{ld} + c_{l}^{1}((ub_{d} - lb_{d})c^{2} + lb_{d}, & c^{3} \ge 0.5 \\ G_{ld} - c_{l}^{1}((ub_{d} - lb_{d})c^{2} + lb_{d}, & c^{3} < 0.5 \end{cases}$$

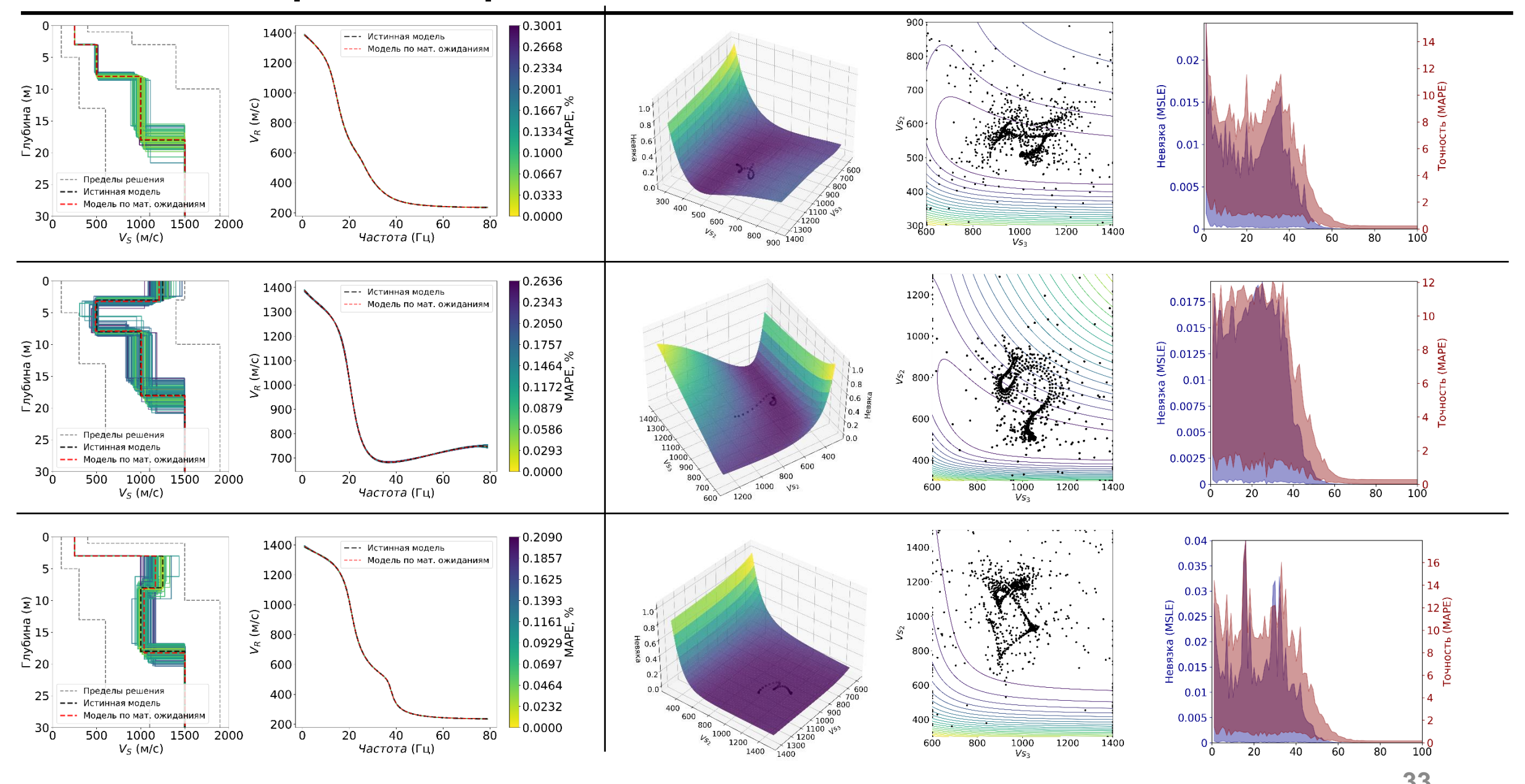
$$c_l^1 = 2e^{-\left(\frac{4l}{L}\right)^2}$$
, $c^2 = rand(0, 1)$, $c^3 = rand(0, 1)$

и <u>последователей</u>:

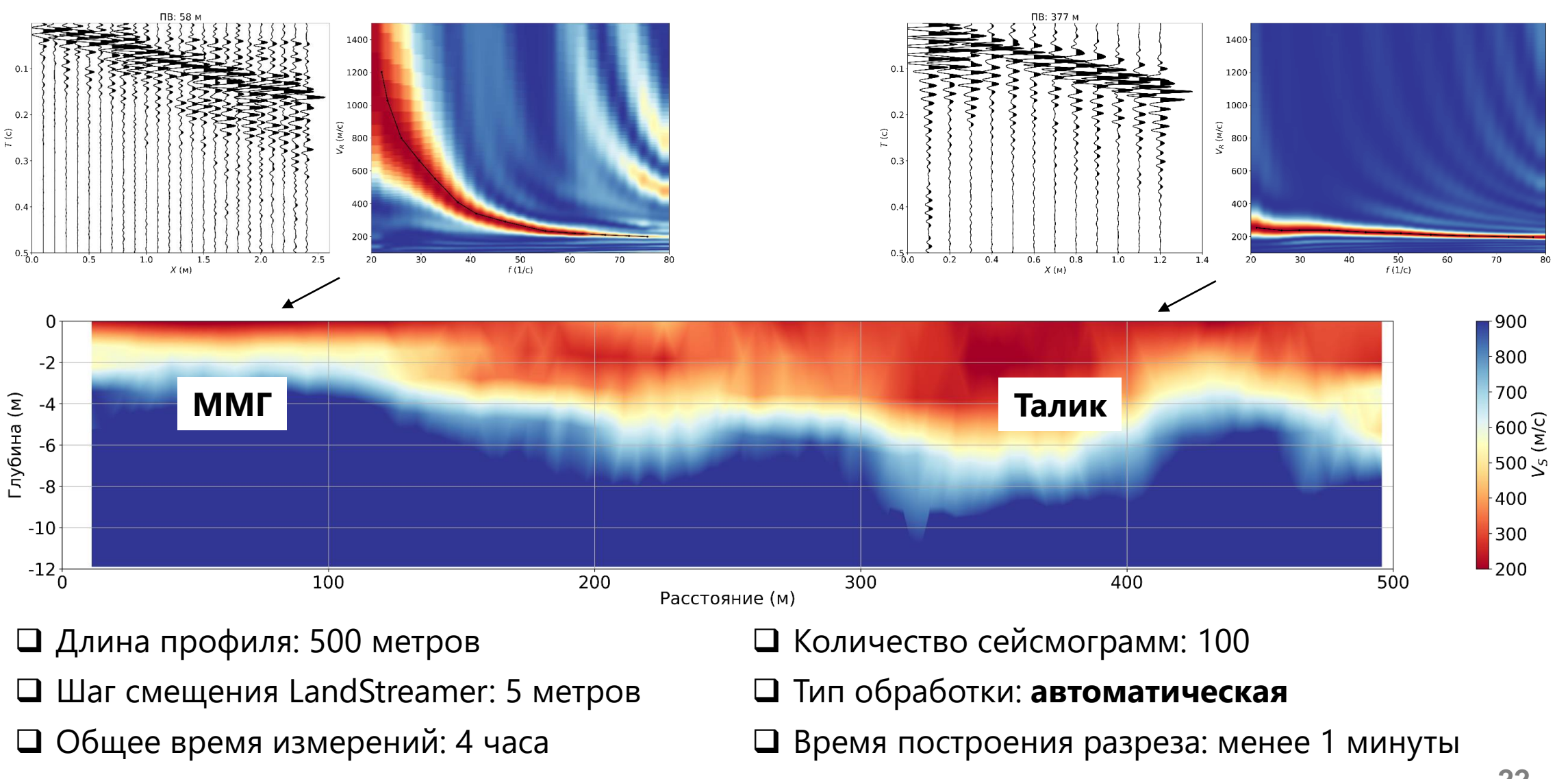
$$X_{ld}^{k} = \frac{\left((x - x_{0}) - v_{0}\right)}{dt} + v_{0}t = \frac{1}{2}\left(X_{ld}^{k-1} - X_{ld}^{k}\right) + X_{ld}^{k} = \frac{1}{2}\left(X_{ld}^{k-1} + X_{ld}^{k}\right)$$

В цикле по итерациям считается невязка для всех агентов, агент с наименьшей невязкой назначается целью, положение остальных агентов обновляется согласно заданным уравнениям

Этап 3 – Инверсия алгоритмами SSA и GWO



Апробация на реальных данных. Малоглубинная сейсморазведка. Алтай



Апробация ИНС-1 – АЕ

